



Curso de posgrado

LA GEOMORFOLOGÍA Y CAMBIO CLIMATICO

SEPTIEMBRE 2022

Docentes: Gabriella M. Boretto (CICTERRA-CONICET-UNC) Marcela A. Cioccale (FCEFyN-UNC)

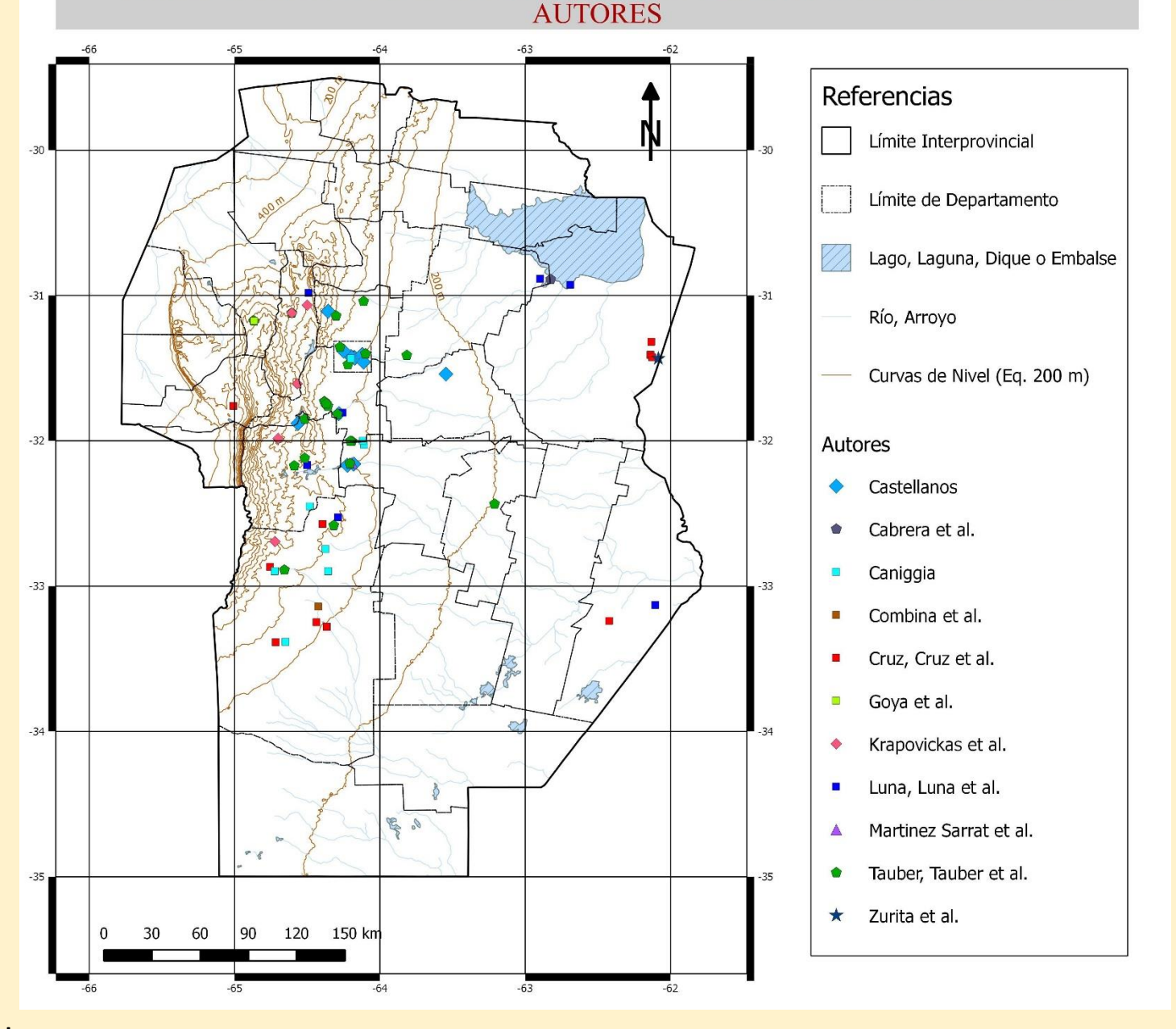
TEMA 5

- Sensoramiento remoto y Sistema de Información Geográfica (SIG).
- Bases de datos climáticas y paleoclimáticas.
- Cartografía geomorfológical aplicada.

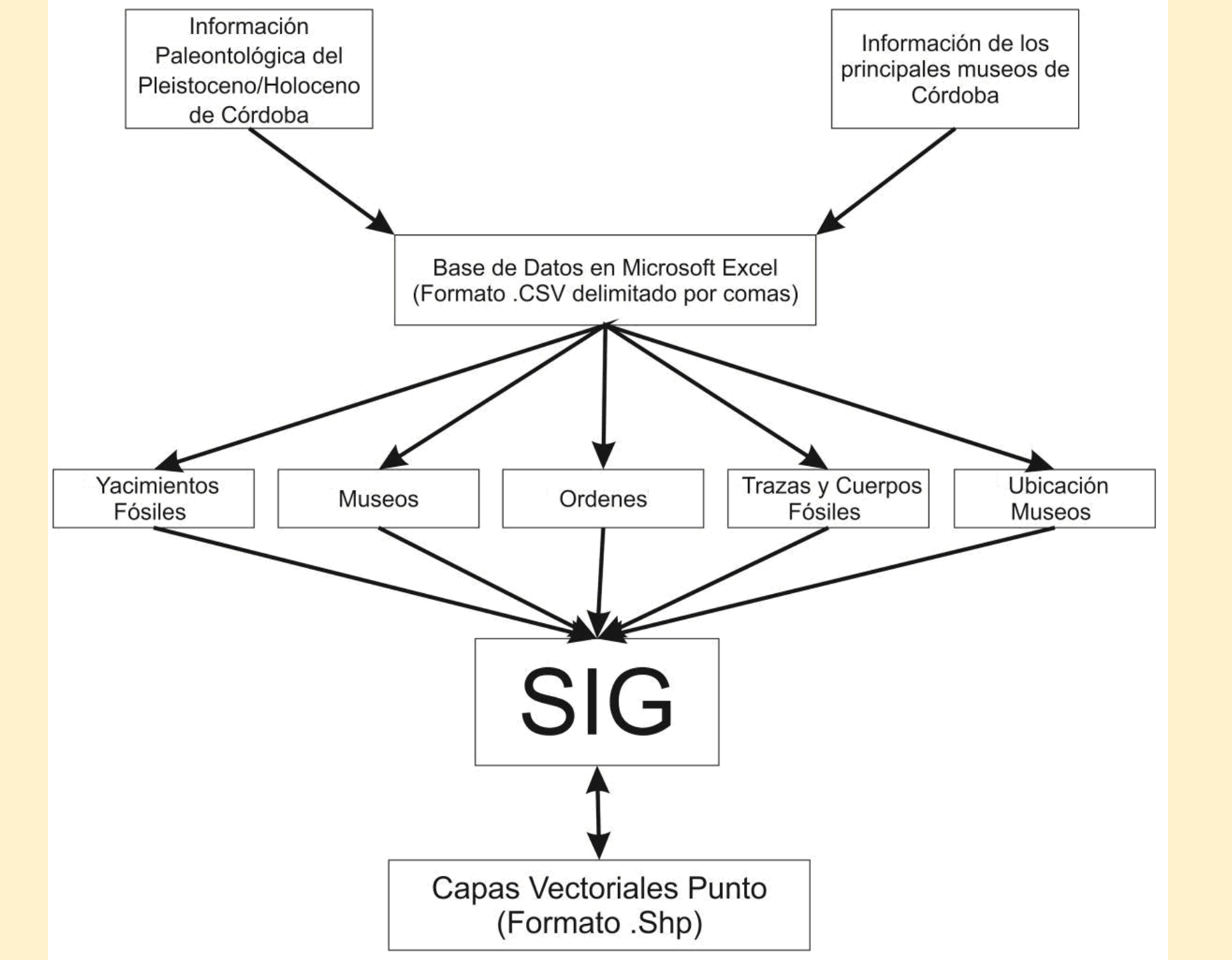


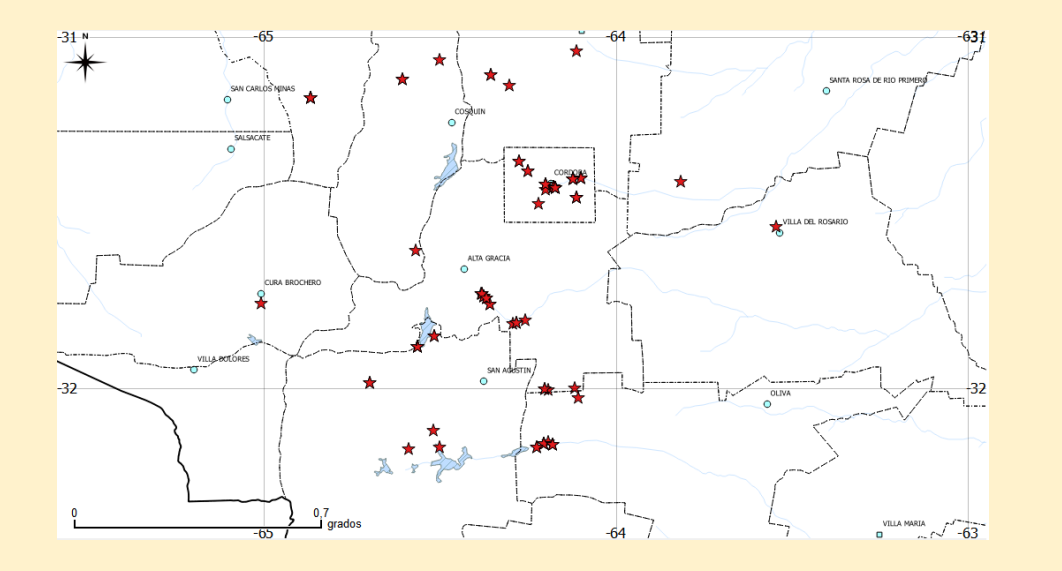
Cartografía geomorfológica aplicada

Base de datos paleoclimáticas: SIG fósiles de la Provincia de Córdoba. Pleistoceno -Holoceno



YACIMIENTOS de MAMIFEROS FOSILES del PLEISTOCENO/HOLOCENO por





Ubicaci?n	Yacimiento	Autor	A?o de pub	Serie	Piso	Informaci?	Granulomet
San Francisco	Cava de Carob	Cruz et al.	2012	NULL	NULL	Nivel 1	Limo/Arcilla
San Francisco	Cava de Carob	Cruz et al.	2012	Pleistoceno	Ensenadense	Nivel 2	Limo/Arcilla
San Francisco	Cava de Carob	Cruz et al.	2012	Pleistoceno/Ho	Lujanense	Nivel 3	Limo/Arcilla
San Francisco	Terreno de la co	Cruz et al.	2012	Pleistoceno/Ho	Lujanense	Nivel 3	Limo/Arcilla
San Francisco	Cava de Luxardo	Cruz	2011	Pleistoceno/Ho	Lujanense	Nivel 3	Limo/Arcilla
San Francisco	NULL	Zurita et al.	2007	NULL	NULL	NULL	NULL
Mar Chiquita	Miramar	Cruz	2011	Pleistoceno/Ho	Lujanense	Formaci?n Teza	Limo/Arcilla
Mar Chiquita	Sitio El Silencio	Cabrera et al.	2011	Pleistoceno/Ho	Lujanense	Formaci?n Teza	Limo/Arcilla
Mar Chiquita	Barrancas de M	Martinez et al.	2012	Pleistoceno/Ho	Lujanense	Formaci?n Teza	Limo/Arcilla
R?o Cuarto	Elena	Cruz	2007	Pleistoceno/Ho	Lujanense	Formaci?n La In	Limo/Arena
R?o Cuarto	Sampacho	Cruz	2011	Pleistoceno/Ho	Lujanense	Formaci?n La In	Limo/Arena
R?o Cuarto	Santa Catalina	Cruz	2007	Pleistoceno/Ho	Bonaerense/Luj	Formaci?n Cho	Limo/Arcilla
R?o Cuarto	Santa Catalina	Cruz	2011	Pleistoceno/Ho	Lujanense	Formaci?n La In	Limo/Arena
R?o Cuarto	Las Lajas	Cruz	2011	Pleistoceno/Ho	Bonaerense/Luj	Formaci?n Cho	Limo/Arcilla
R?o Cuarto	R?o Las Ca?itas	Cruz	2011	NULL	NULL	NULL	NULL
R?o Cuarto	NULL	Combina et al.	2003	Pleistoceno/Ho	Lujanense	Formaci?n La In	Limo/Arena
Isla Verde	Isla Verde	Cruz	2011	Pleistoceno/Ho	Lujanense	Nivel 2	Limo/Arena
Nono	Barrancas entre	Cruz	2011	Pleistoceno	NULL	"Estratos supra	Arena/Grava
Despe?aderos	Cortada de Gra	Luna et al.	2011	Pleistoceno/Ho	Bonaerense/Luj	"Secciones bas	Limo/Arena
		al.	2006	Pleistoceno/Ho	Lujanense	Unidad A	Limo/Arena

2006 NULL

2000 Pleistoceno

1999 Pleistoceno

1999 Pleistoceno

1999 Pleistoceno

1999 Pleistoceno

NULL

NULL

NULL

NULL

NULL

Ensenadense

2008 Pleistoceno/Ho... Lujanense

2005 Pleistoceno/Ho... Lujanense

2011 Pleistoceno/Ho... Luianense

2011 Pleistoceno/Ho... Bonaerense/Luj...

Unidad B

Unidad A

Unidad A

Nivel inferior

Nivel Fosil?fero 1 Limo/Arena

Nivel Fosil?fero 2 Limo

Nivel Fosil?fero 3 Limo

Nivel Fosil?fero 3 Limo

Facies 1

NUL

Arena/Limo

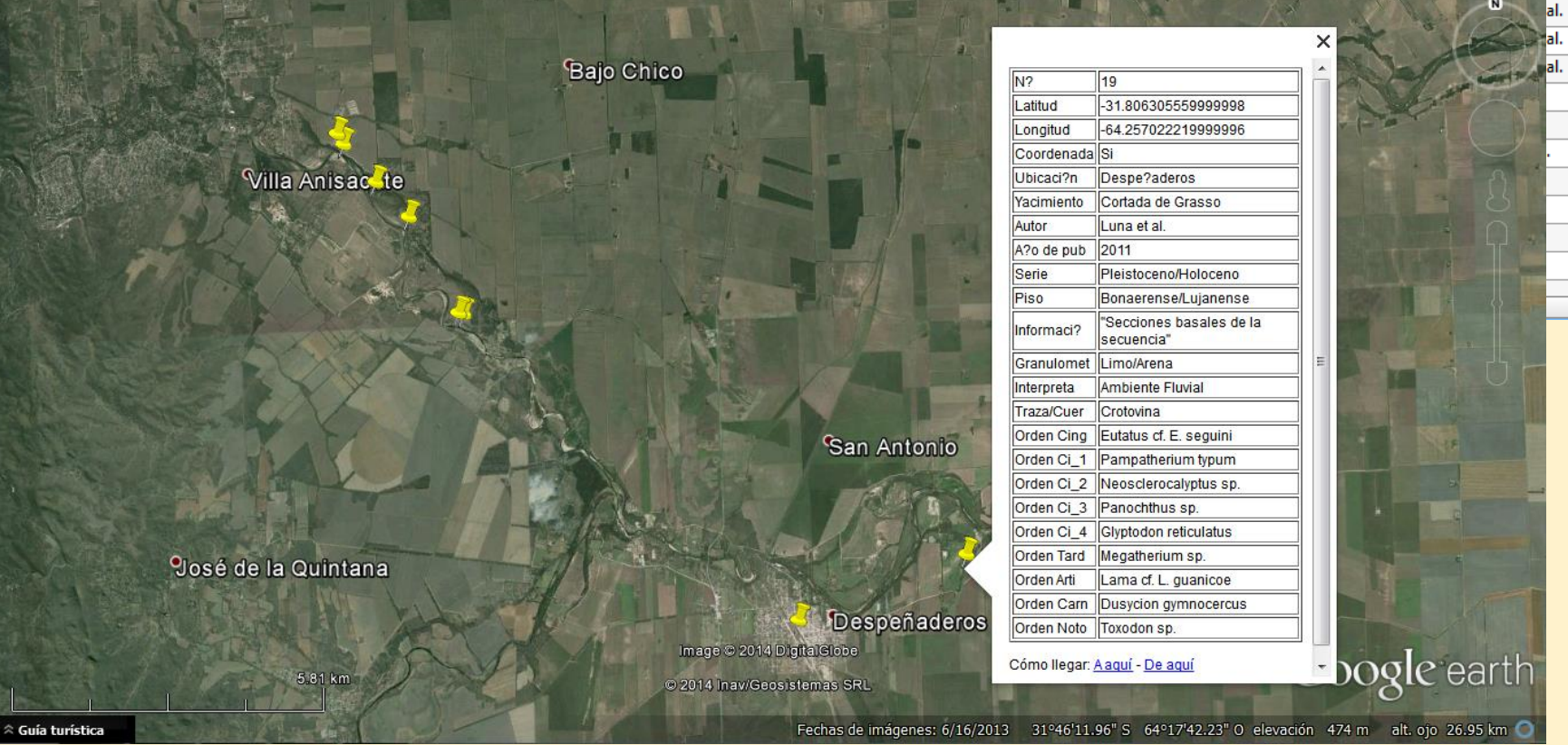
Limo/Arena

Limo/Arcilla

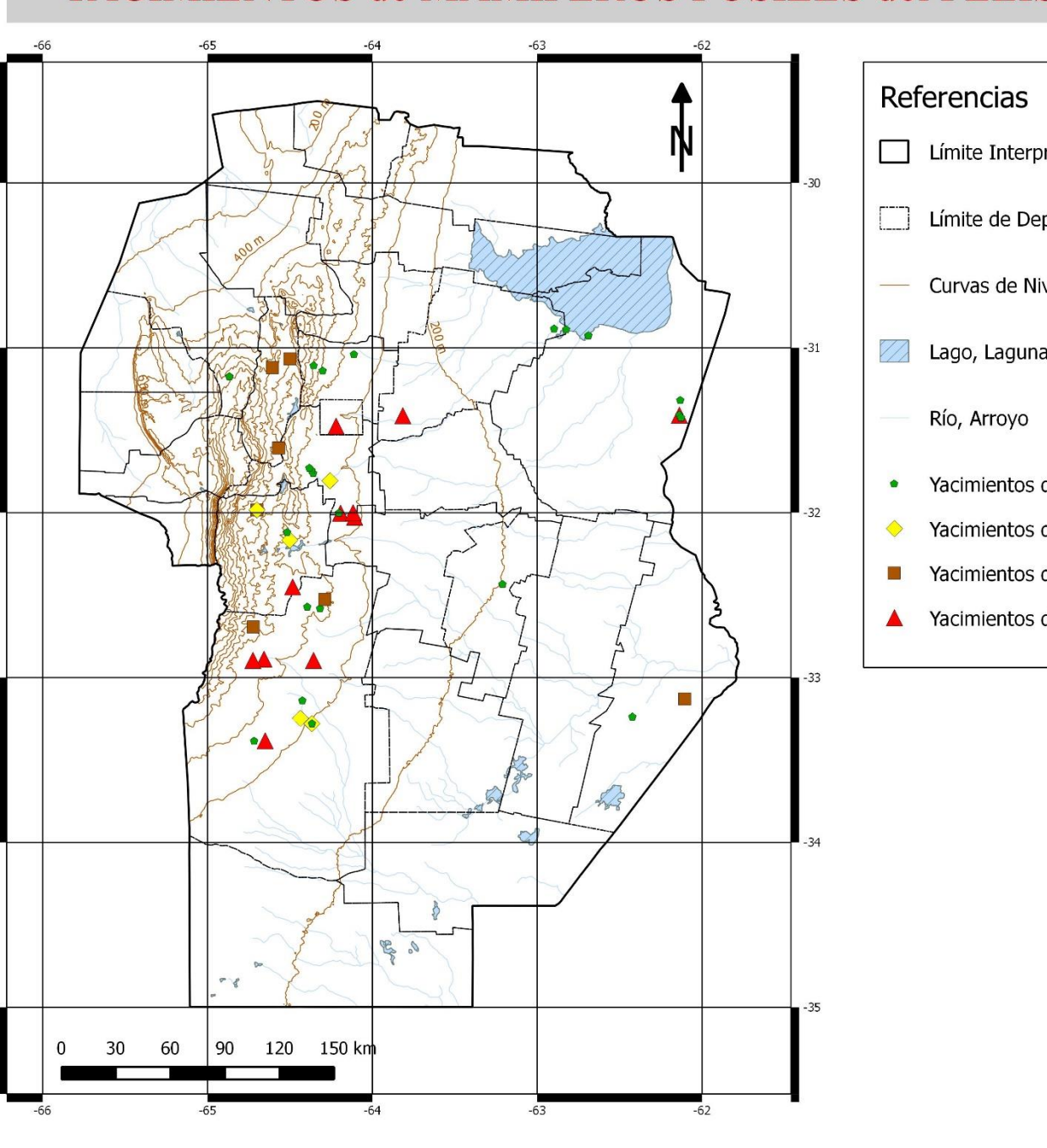
Limo/Arena

Limo/Arena

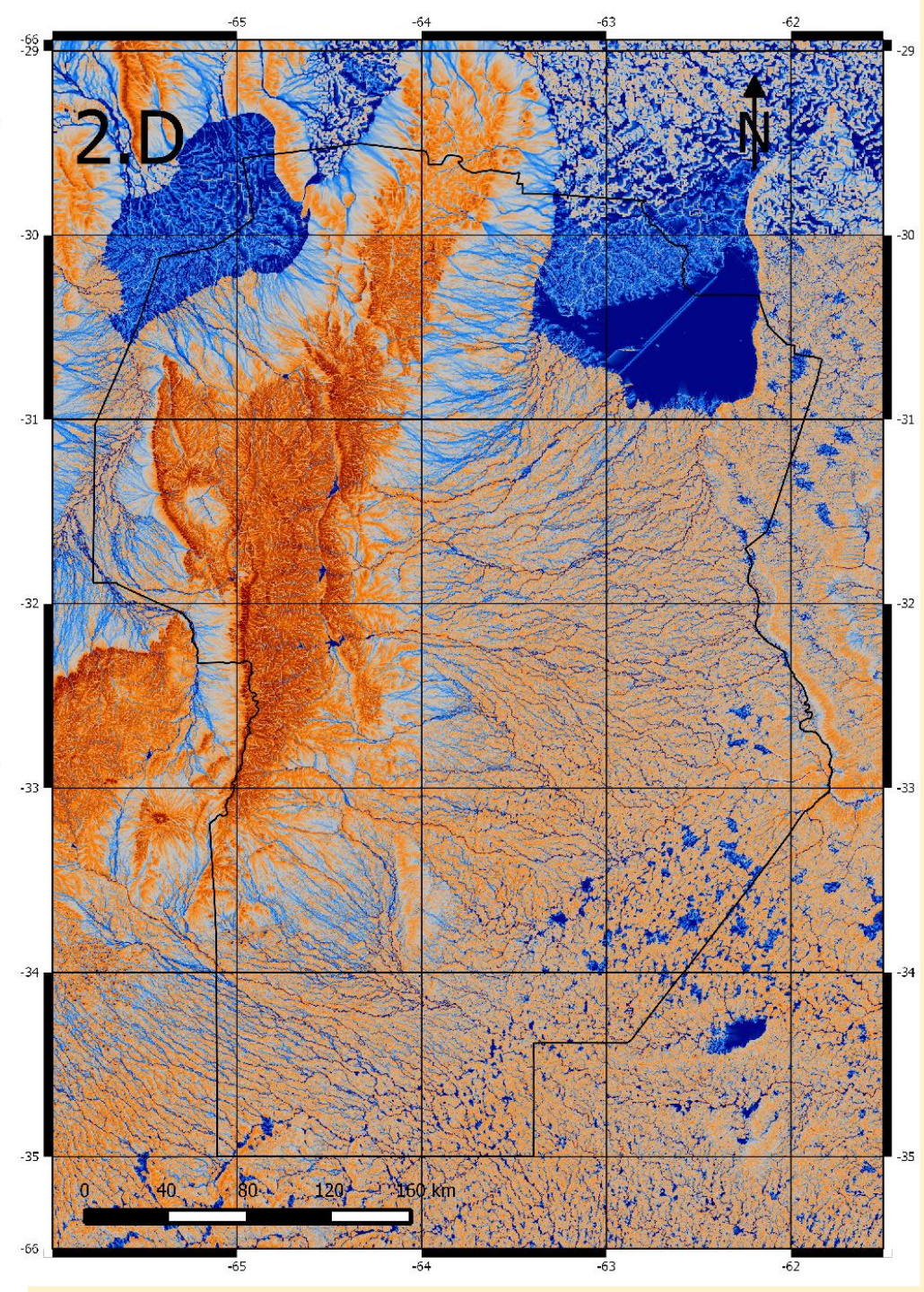
NULL



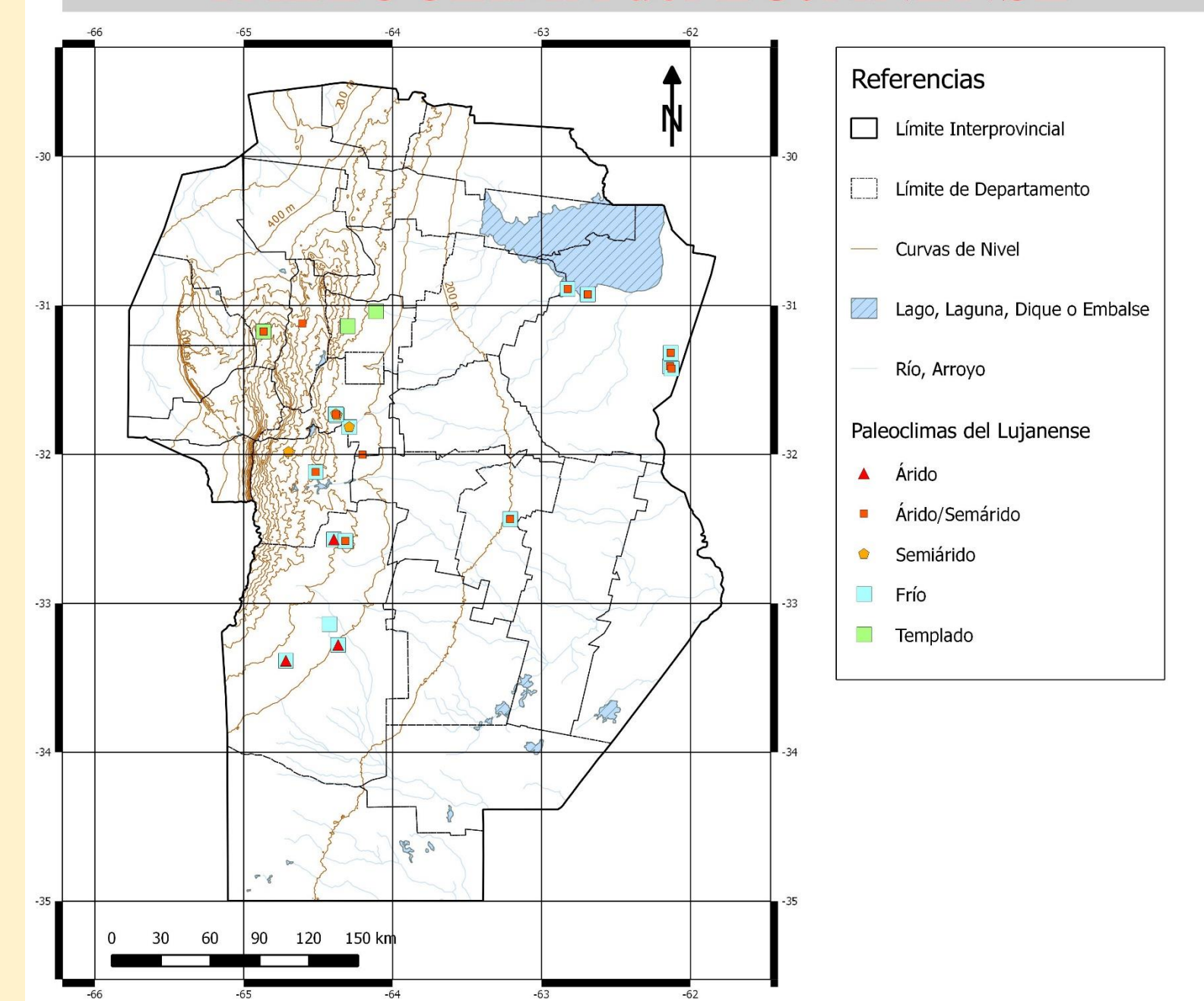
YACIMIENTOS de MAMÍFEROS FÓSILES del PLEISTOCENO



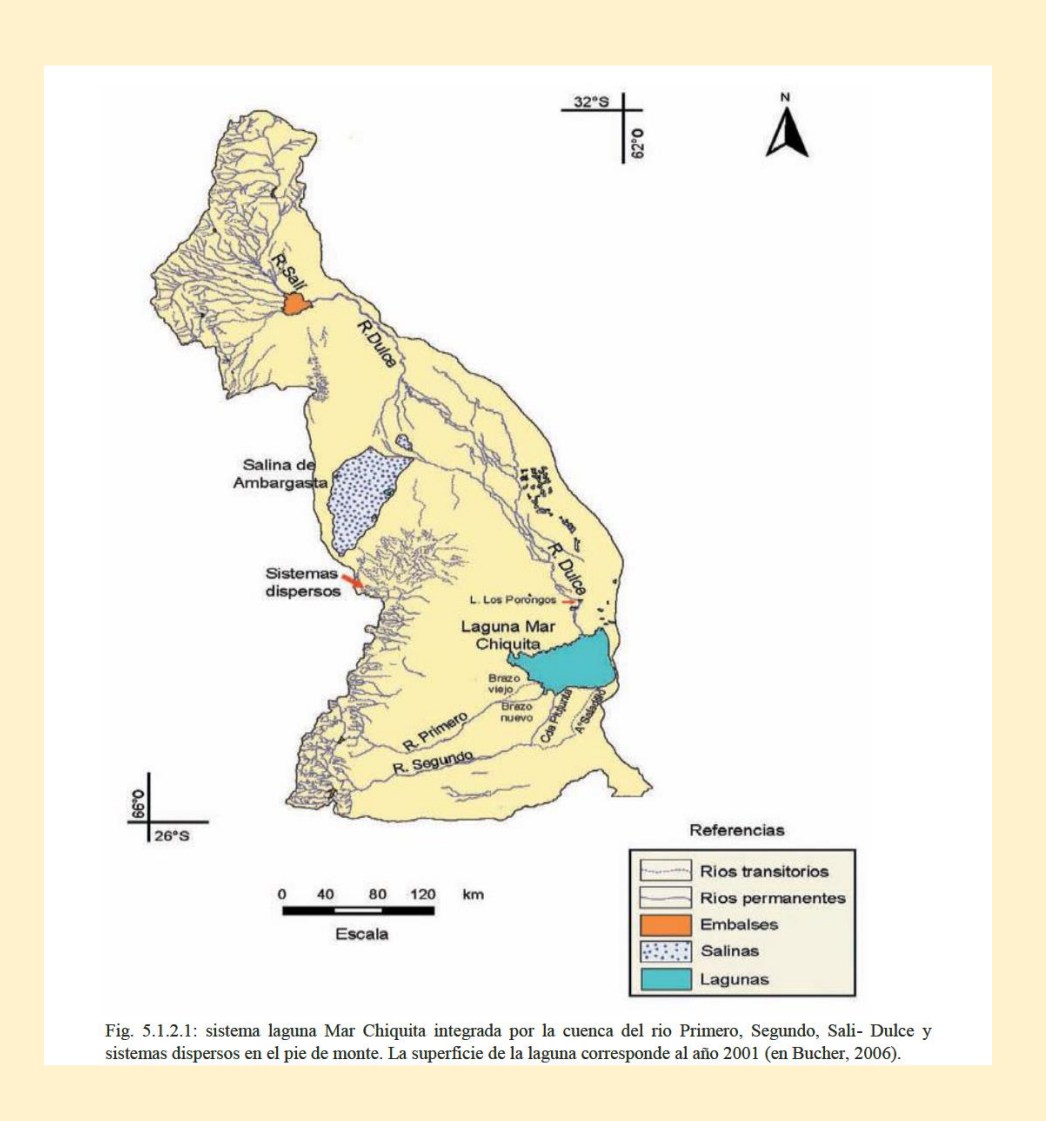
- Límite Interprovincial
 - Límite de Departamento
- Curvas de Nivel
- Lago, Laguna, Dique o Embalse
- Yacimientos del Lujanense
- Yacimientos del Bonaerense/Lujanense
- Yacimientos del Bonaerense
- ▲ Yacimientos del Ensenadense



PALEOCLIMA del LUJANENSE



Ejemplo: Laguna Mar Chiquita



≥1976· 1910

Fig 4.2.11: superposición de niveles de la laguna de los años 1910

(verde), 1976 (rojo), 1982 (relleno celeste) y 2016 (violeta).

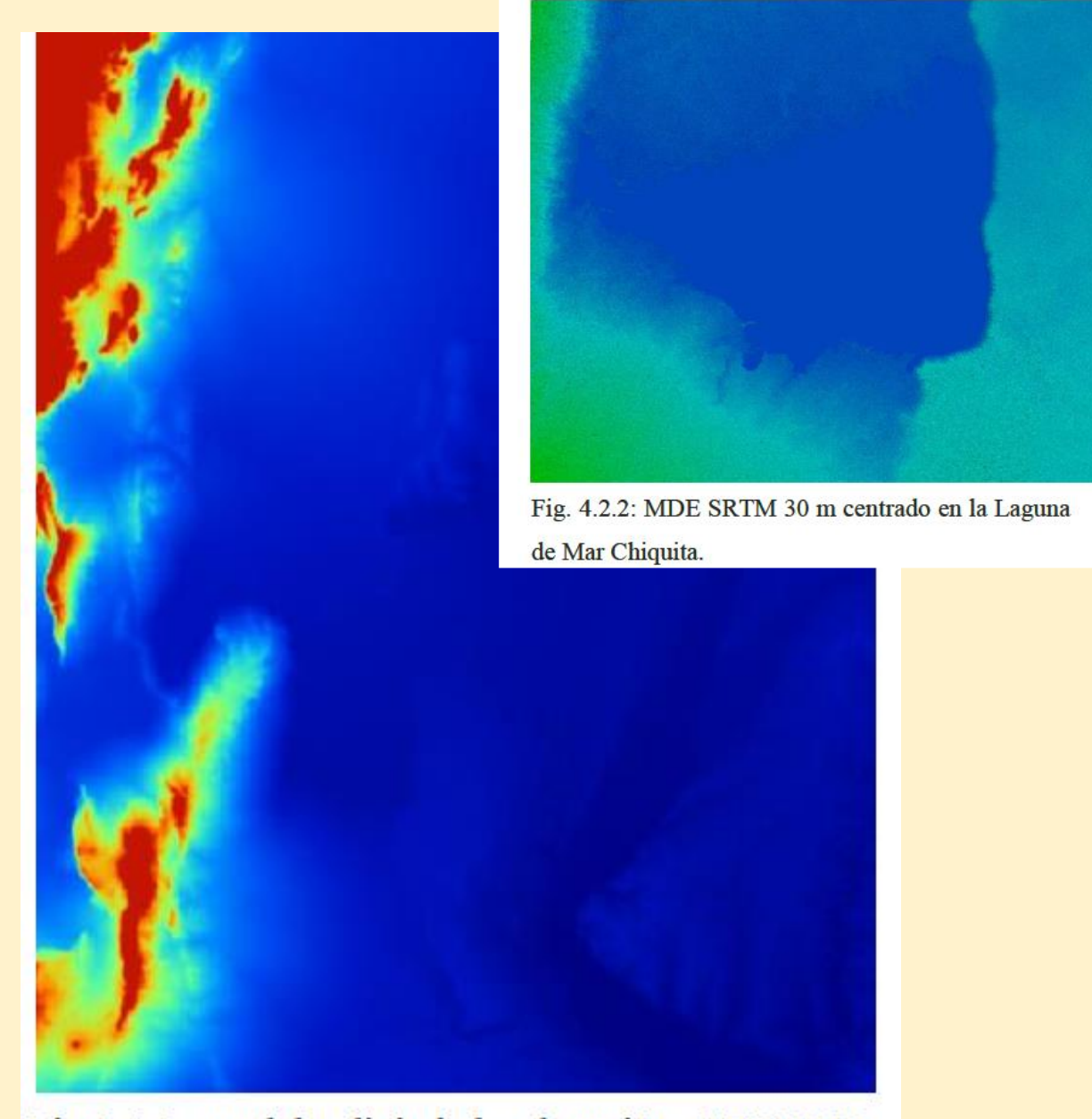
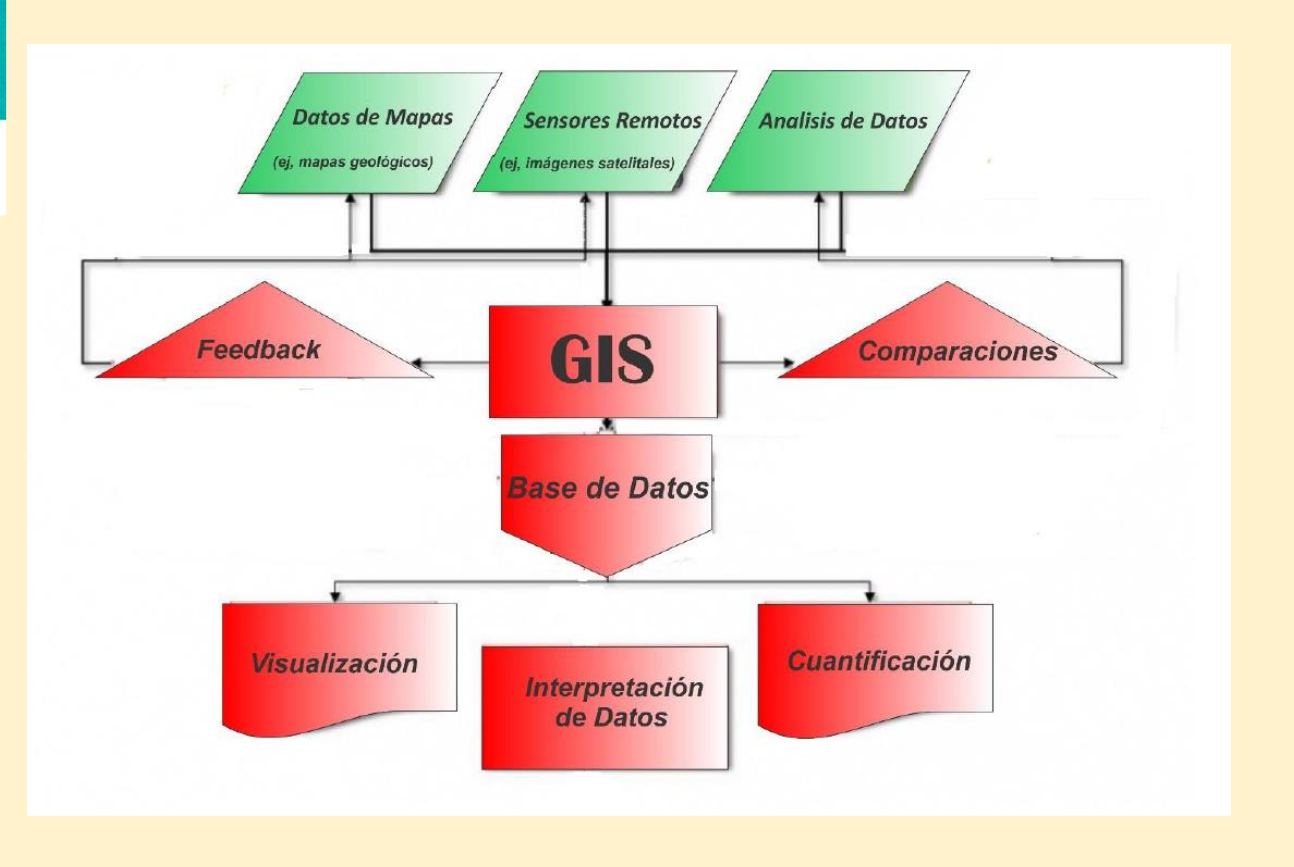


Fig.3.1.3: modelo digital de elevación GTOPO30 de resolución 1km adaptado a la zona de trabajo.



Trabajo Final Juan Siles

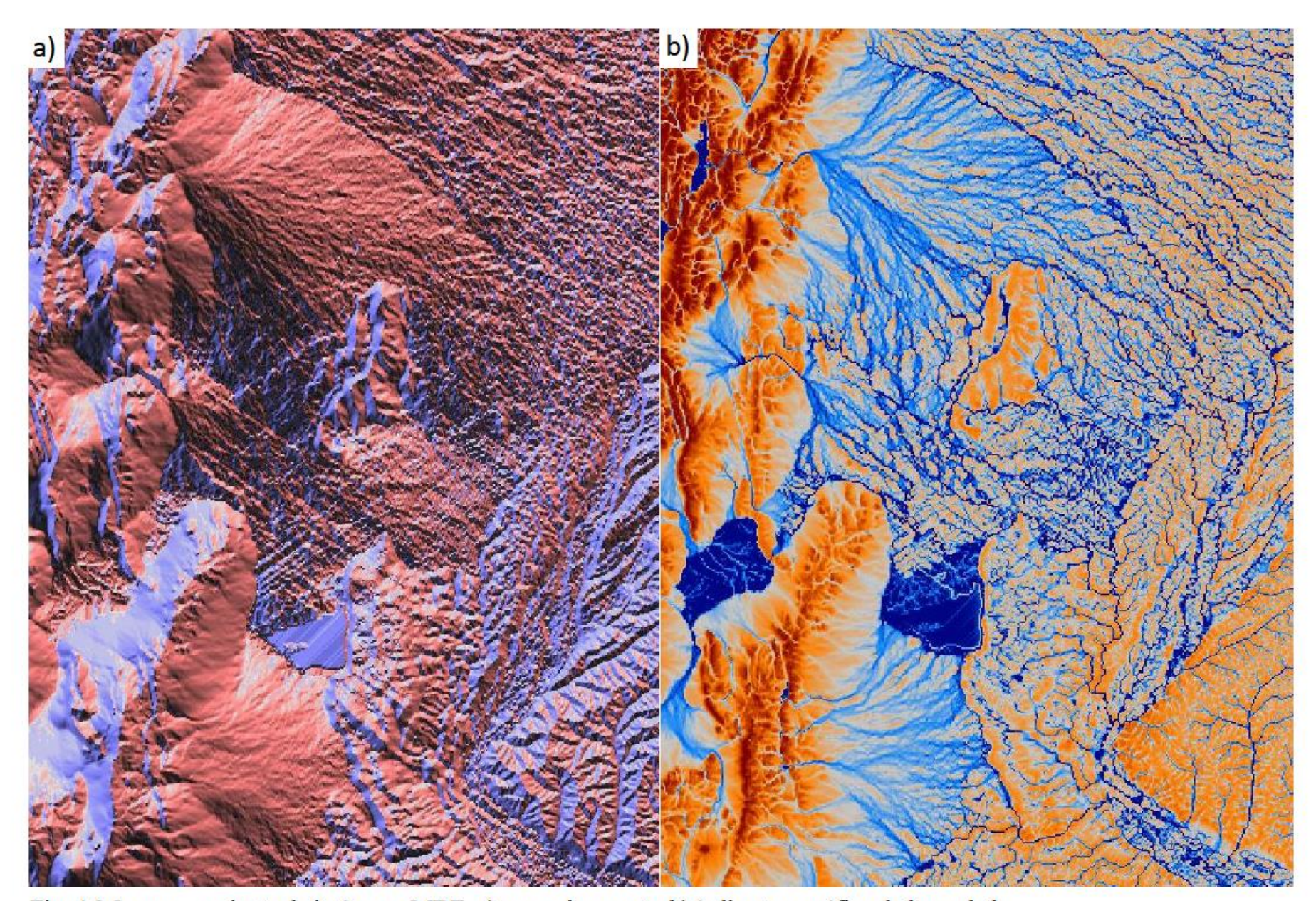


Fig. 4.2.8: procesamiento de imágenes MDE, a) mapa de aspecto b) índice topográfico de humedad.

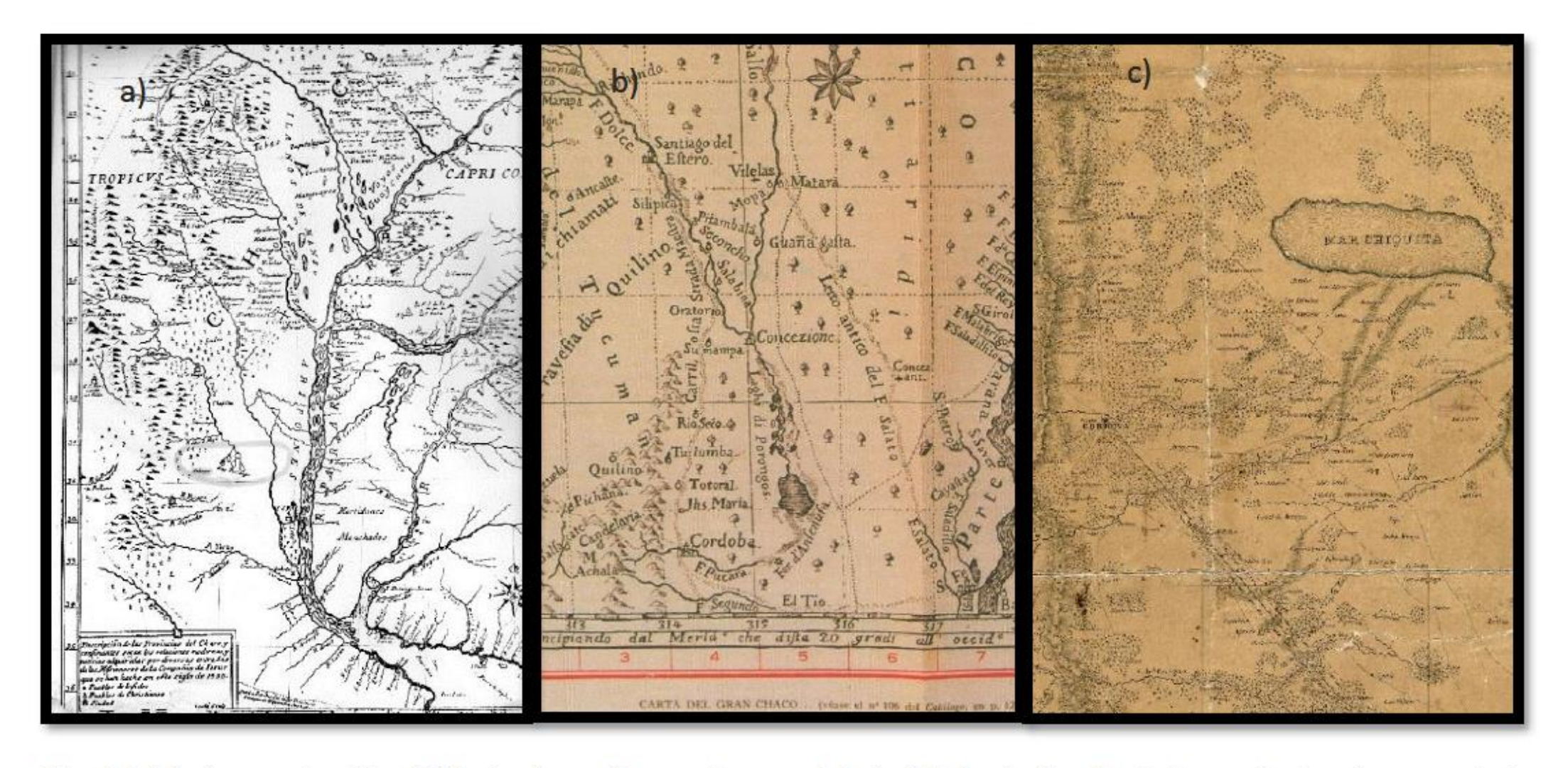


Fig. 5.2.1.2 a) mapa jesuítico 1720, donde se observa el cauce del río Salado similar al actual y se destaca la presencia de pequeños cuerpos de agua dispersos en la zona de la laguna Mar Chiquita, b) mapa del Chaco de 1789 ,figura el abandono del cauce anterior del Salado y unión con el Dulce hacia Mar Chiquita, c) extracto de mapa de la provincia de Córdoba de 1866, se observa un cuerpo lagunar más desarrollado, coincidiendo con un período corto de humedad, donde los ríos Primero y Segundo no desembocan en la laguna.

Trabajo Final Juan Siles

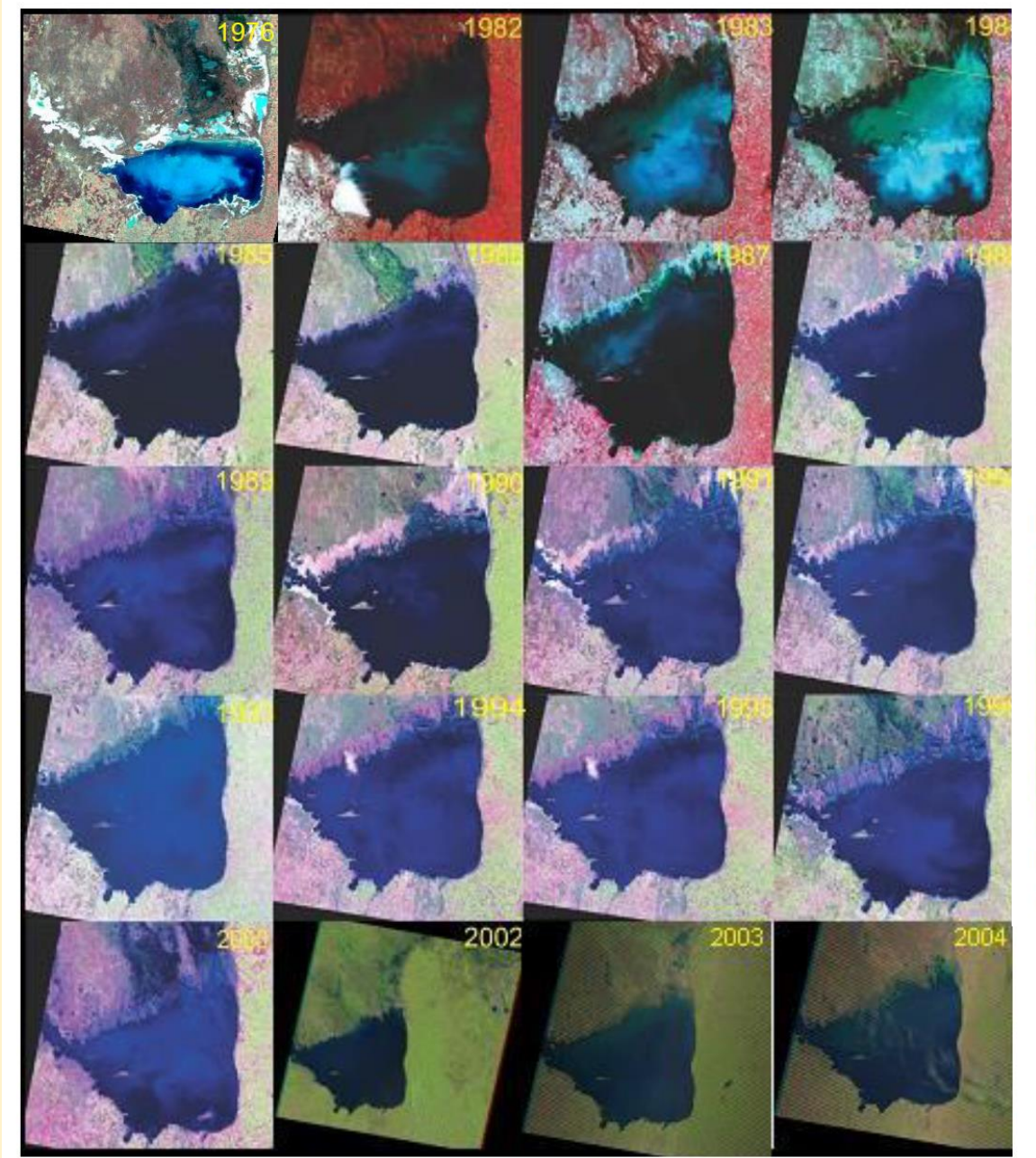


Fig. 4.2.4: mosaico de imágenes LANDSAT de 1976-2004, donde se puede observar el comportamiento variable de la laguna para cada año.

no	Resolución	Fuente	Tipo
2005	250m	http://lance-modis.eosdis.nasa.gov/imagery/subsets/?subset=FAS_NArgentina.2005121.terra.721.250m	Sensores remotos- 1er Set
2006	250m	http://lance-modis.eosdis.nasa.gov/imagery/subsets/?subset=FAS_NArgentina.2006191.terra.721.250m	Sensores remotos- 1er Set
2007	250m	http://lance-modis.eosdis.nasa.gov/imagery/subsets/?subset=FAS_NArgentina.2007196.terra.721.250m	Sensores remotos- 1er Set
2008	250m	http://lance-modis.eosdis.nasa.gov/imagery/subsets/?subset=FAS_NArgentina.2008153.terra.721.250m	Sensores remotos- 1er Set
2009	250m	http://lance-modis.eosdis.nasa.gov/imagery/subsets/?subset=FAS_NArgentina.2009205.aqua.721.250m	Sensores remotos- 1er Set
2010	250m	http://lance-modis.eosdis.nasa.gov/imagery/subsets/?subset=FAS NArgentina.2010307.terra.721.250m	Sensores remotos- 1er Set
2011	250m	http://lance-modis.eosdis.nasa.gov/imagery/subsets/?subset=FAS_NArgentina.2011033.terra.721.250m	Sensores remotos- 1er Se
2012		https://2mp.conae.gov.ar/descargas/Imagenes/	Sensores remotos - 1er Se
2013		https://2mp.conae.gov.ar/descargas/Imagenes/	Sensores remotos - 1er Se
2014	250m	http://lance-modis.eosdis.nasa.gov/imagery/subsets/?subset=FAS_NArgentina.2014207.terra.721.250m	Sensores remotos- 1er Se
2015	250m	http://lance-modis.eosdis.nasa.gov/imagery/subsets/?subset=FAS_NArgentina.2015152.aqua.721.250m	Sensores remotos- 1er Se
2006	250m	https://earthdata.nasa.gov/earth-observation-data/near-real-time/rapid-response/modis-subsets	Sensores remotos - 2do S
2007	250m	https://earthdata.nasa.gov/earth-observation-data/near-real-time/rapid-response/modis-subsets	Sensores remotos - 2do S
2008	250m	https://earthdata.nasa.gov/earth-observation-data/near-real-time/rapid-response/modis-subsets	Sensores remotos - 2do S
2009	250m	https://earthdata.nasa.gov/earth-observation-data/near-real-time/rapid-response/modis-subsets	Sensores remotos - 2do S
2010	250m	https://earthdata.nasa.gov/earth-observation-data/near-real-time/rapid-response/modis-subsets	Sensores remotos - 2do S
2012	250m	https://earthdata.nasa.gov/earth-observation-data/near-real-time/rapid-response/modis-subsets	Sensores remotos - 2do S
2006	250m	https://earthdata.nasa.gov/earth-observation-data/near-real-time/rapid-response/modis-subsets	Sensores remotos -3er Se
2007	250m	https://earthdata.nasa.gov/earth-observation-data/near-real-time/rapid-response/modis-subsets	Sensores remotos -3er Se
2008	250m	https://earthdata.nasa.gov/earth-observation-data/near-real-time/rapid-response/modis-subsets	Sensores remotos -3er S
2009	250m	https://earthdata.nasa.gov/earth-observation-data/near-real-time/rapid-response/modis-subsets	Sensores remotos -3er S
2010	250m	https://earthdata.nasa.gov/earth-observation-data/near-real-time/rapid-response/modis-subsets	Sensores remotos -3er S
2011	250m	https://earthdata.nasa.gov/earth-observation-data/near-real-time/rapid-response/modis-subsets	Sensores remotos -3er Se

Fig. 4.2.5: a) tabla de imágenes MODIS utilizadas, b) ejemplos de imágenes MODIS 2008 (1^{er} set), 2009 (2^{do} set) y 2011 (3^{er} set).

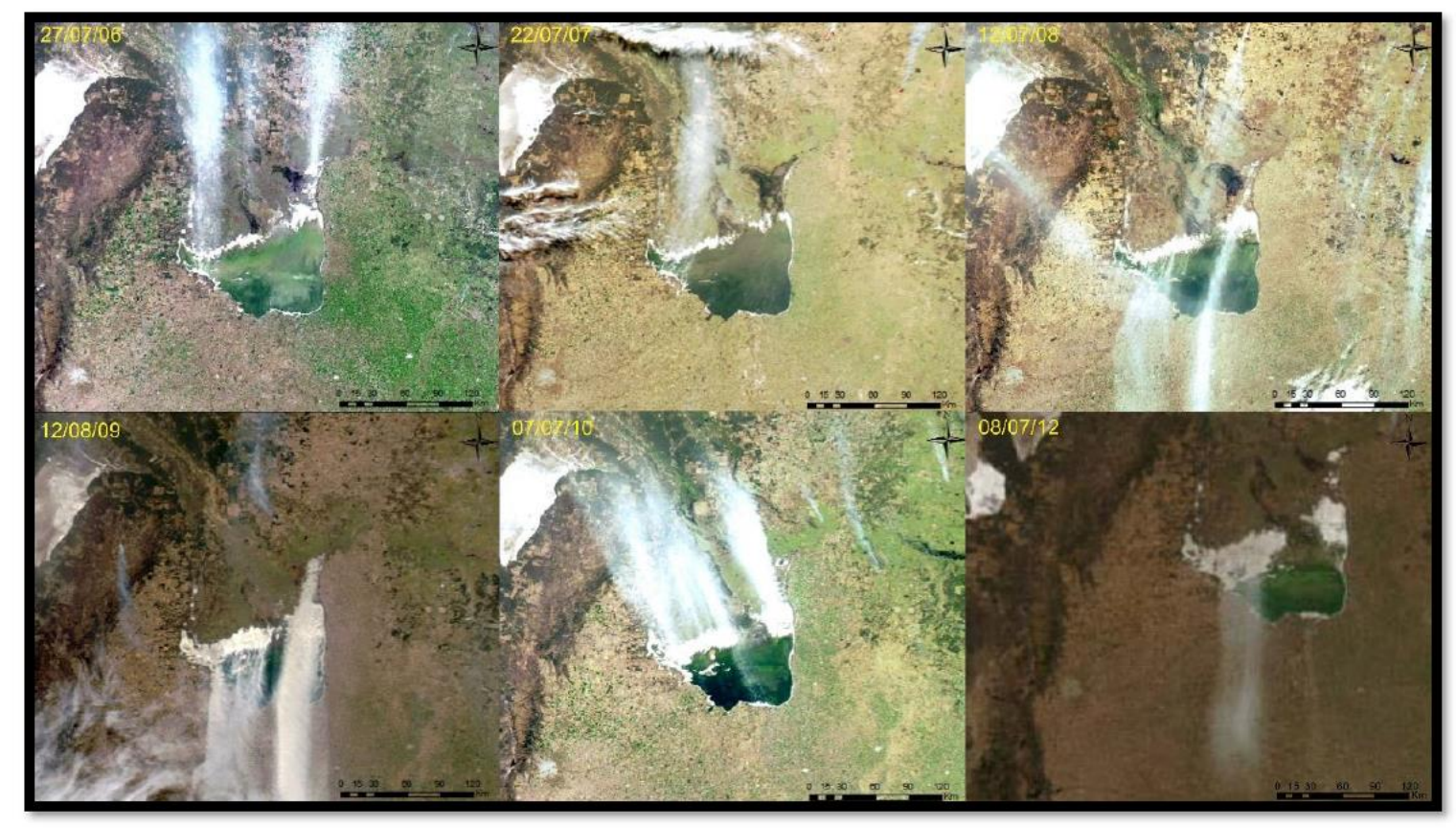
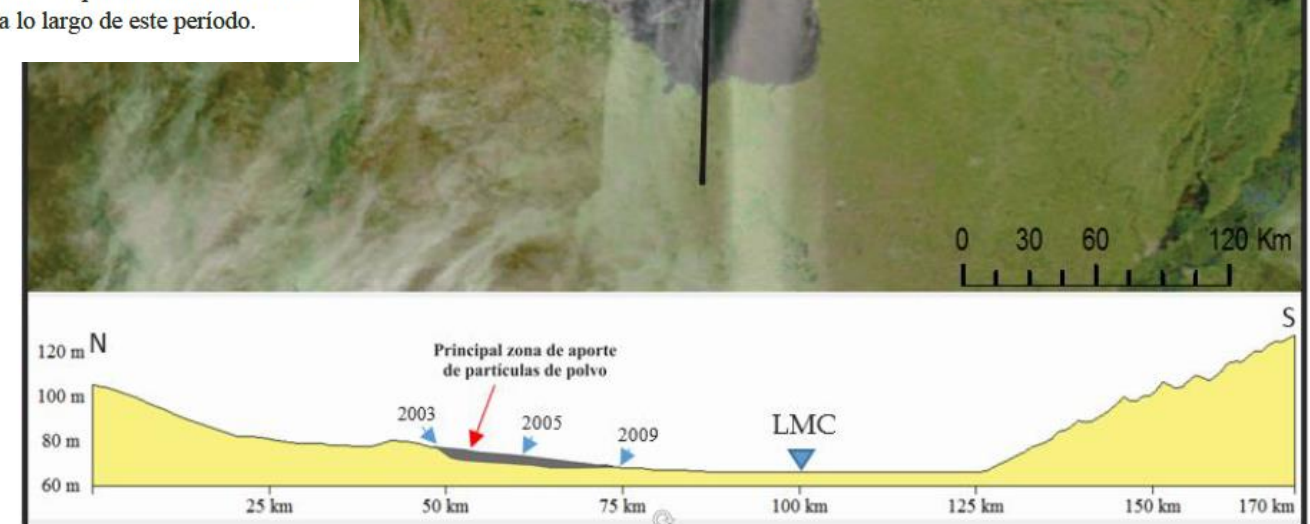


Fig.5.2.2.5 : Mosaico de imágenes MODIS de los años 2006, 2007, 2008, 2009, 2010 y 2012. Se destaca la extensión de las plumas de sal en dos direcciones principales norte y sur, además la exposición y aumento de área de la playa salina al norte de la laguna a lo largo de este período.



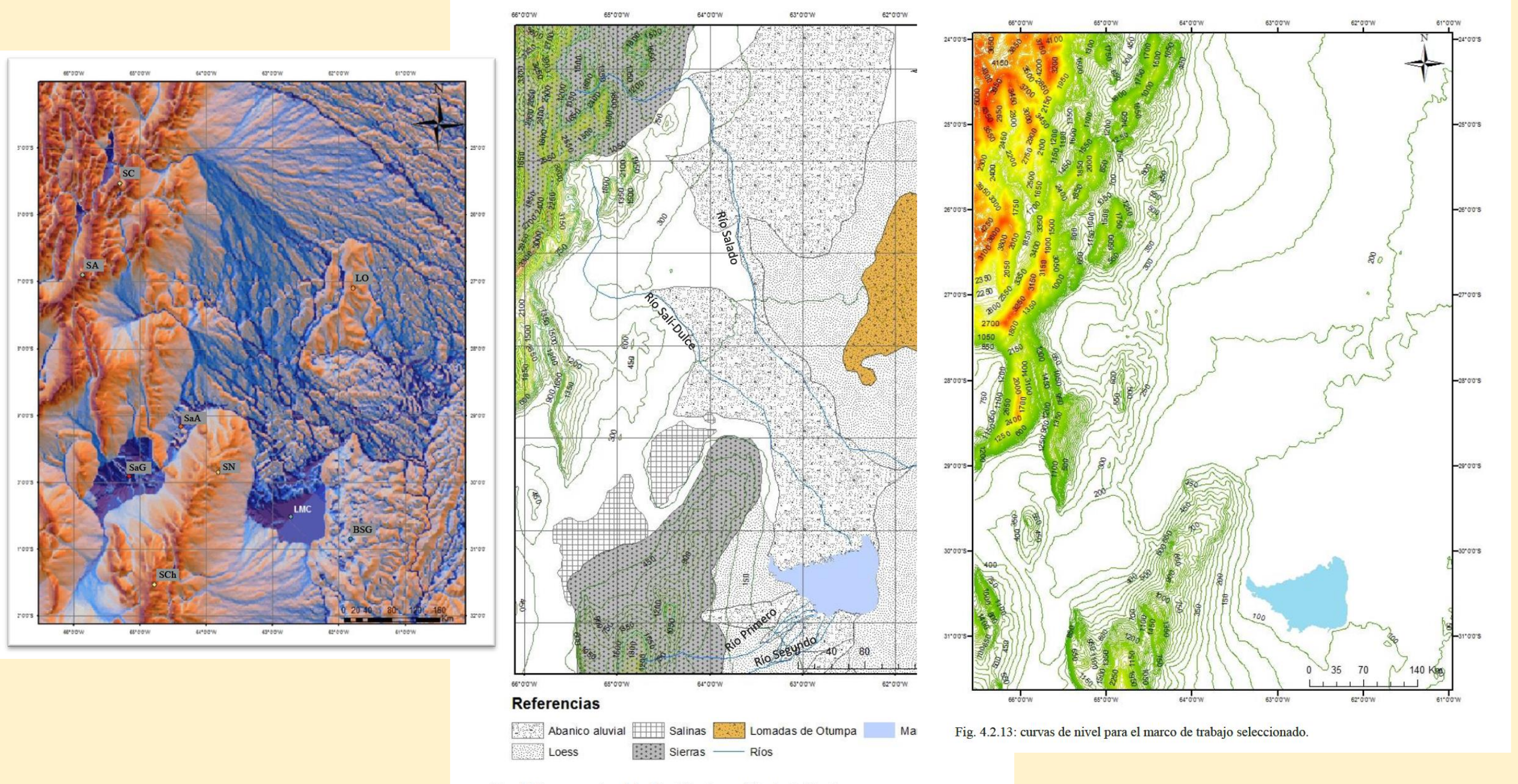


Fig. 4.2.9: mapa regional de Mar Chiquita modificado de Kroeling y Iriondo, 1999.

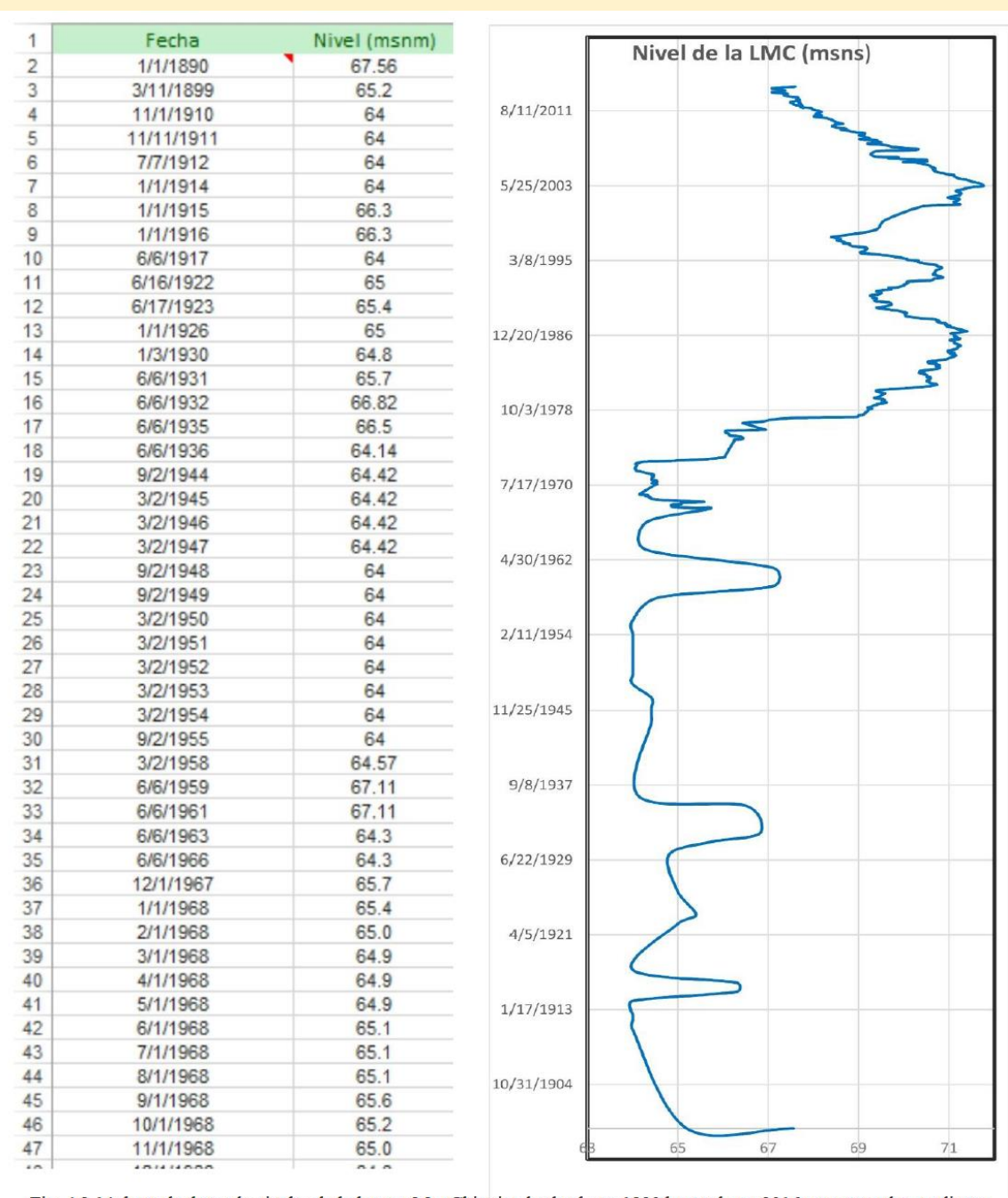


Fig. 4.2.14: base de datos de niveles de la laguna Mar Chiquita desde el año 1890 hasta el año 2016 representados mediante una curva limnimétrica.

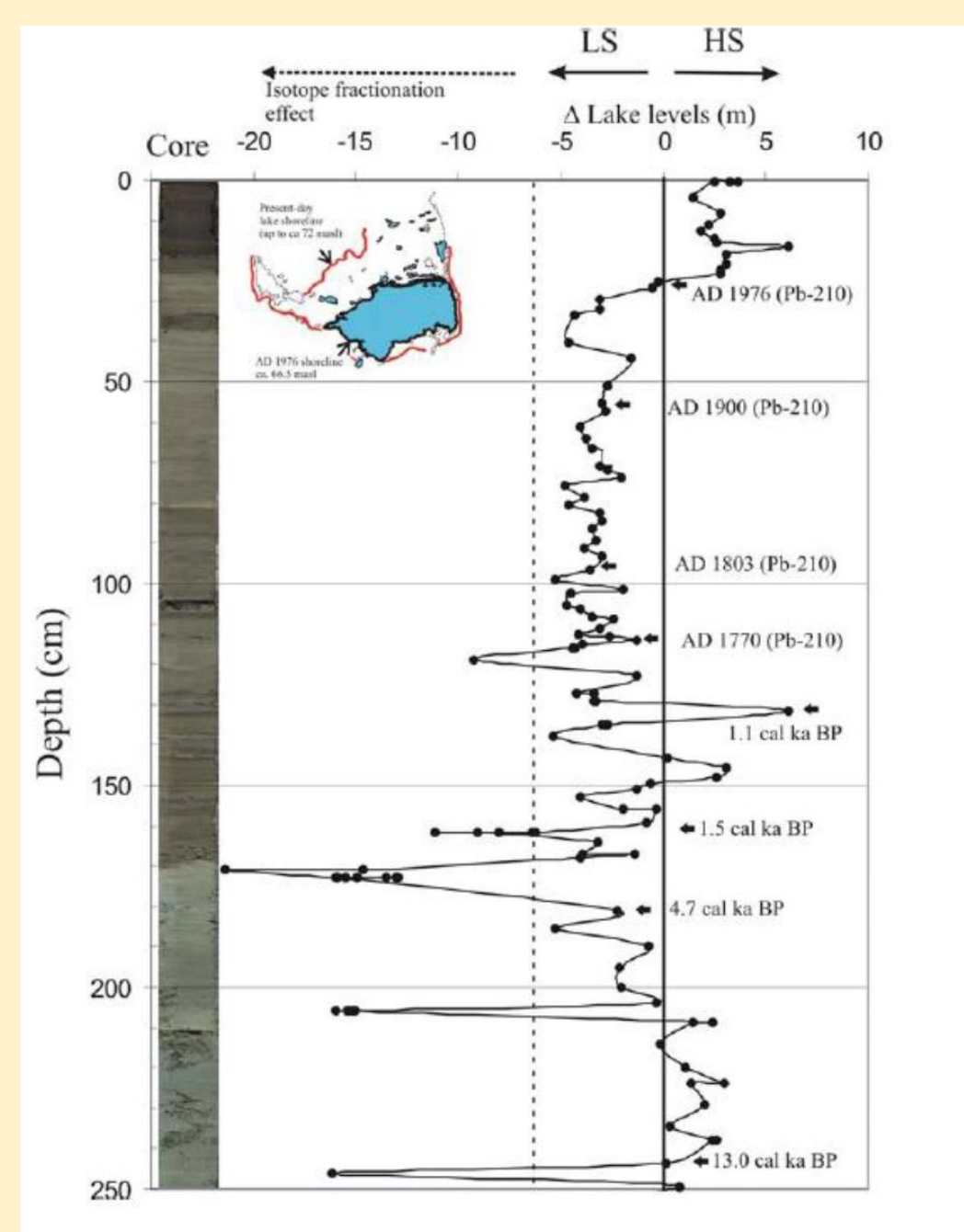


Fig. 5.2.1.1: reconstrucción de paleoniveles de la laguna Mar Chiquita tomado de Piovano et al. (2009). El valor 0 corresponde a la cota de referencia de 1976 (67 m.s.n.m.)

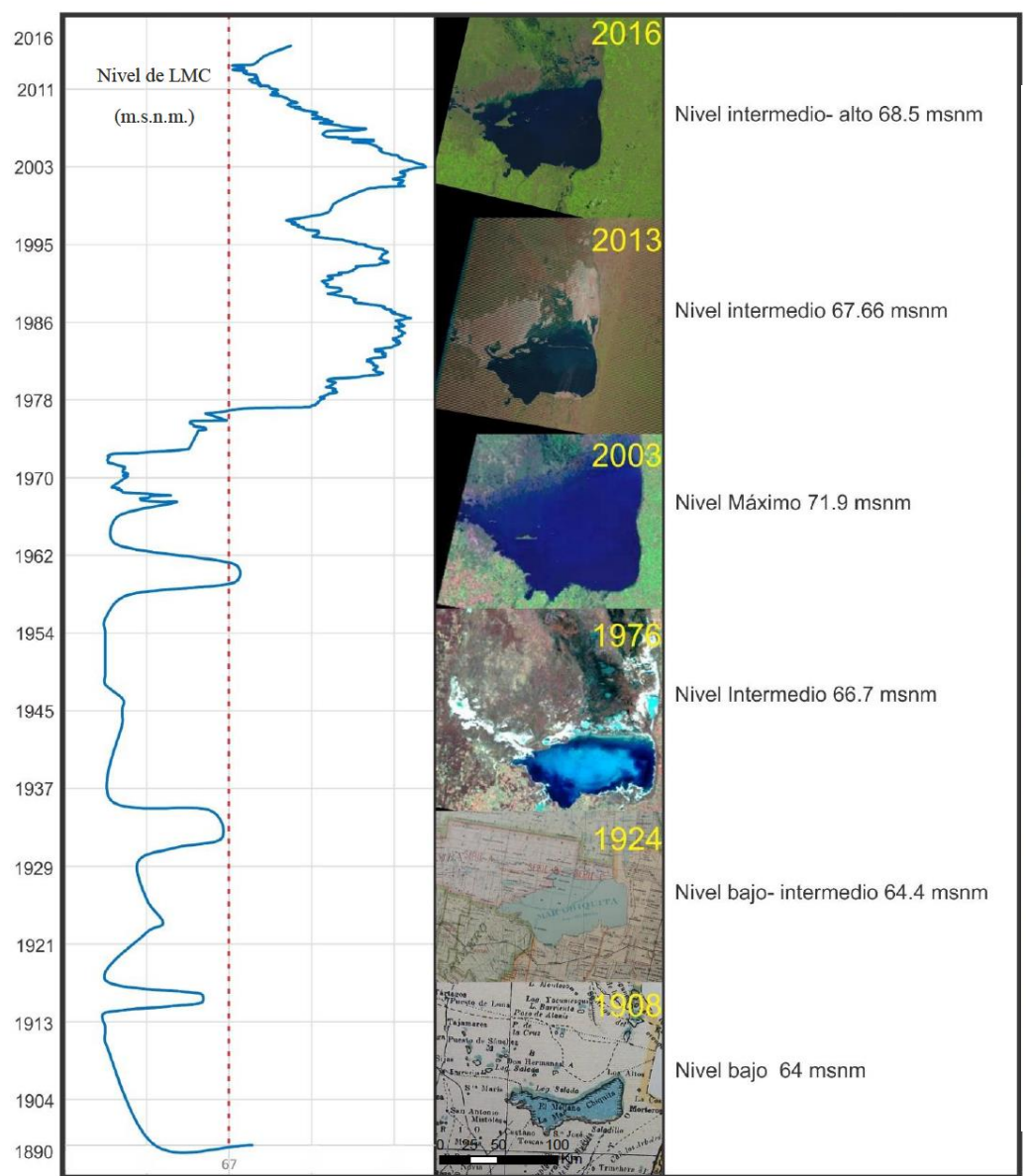
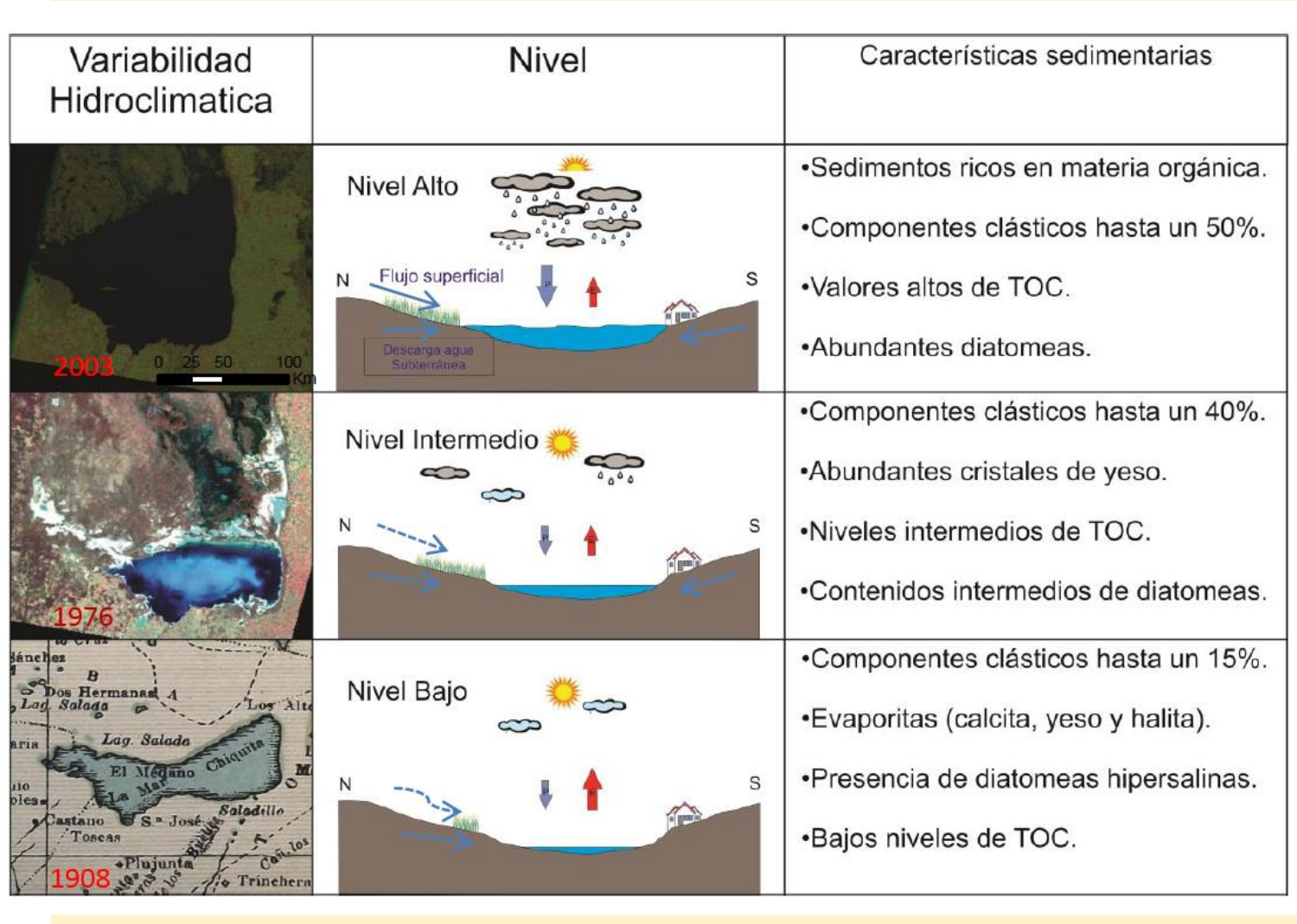
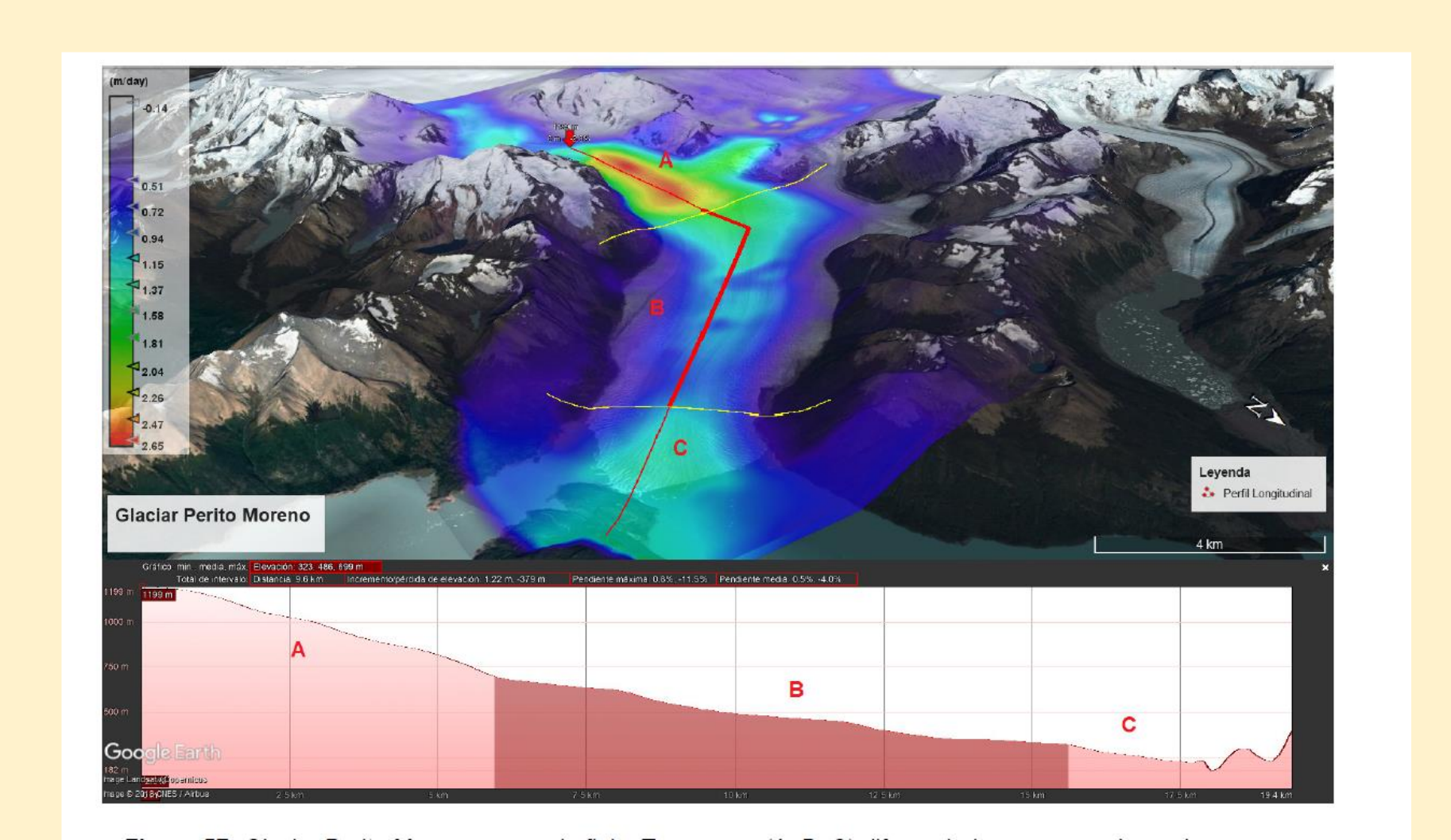


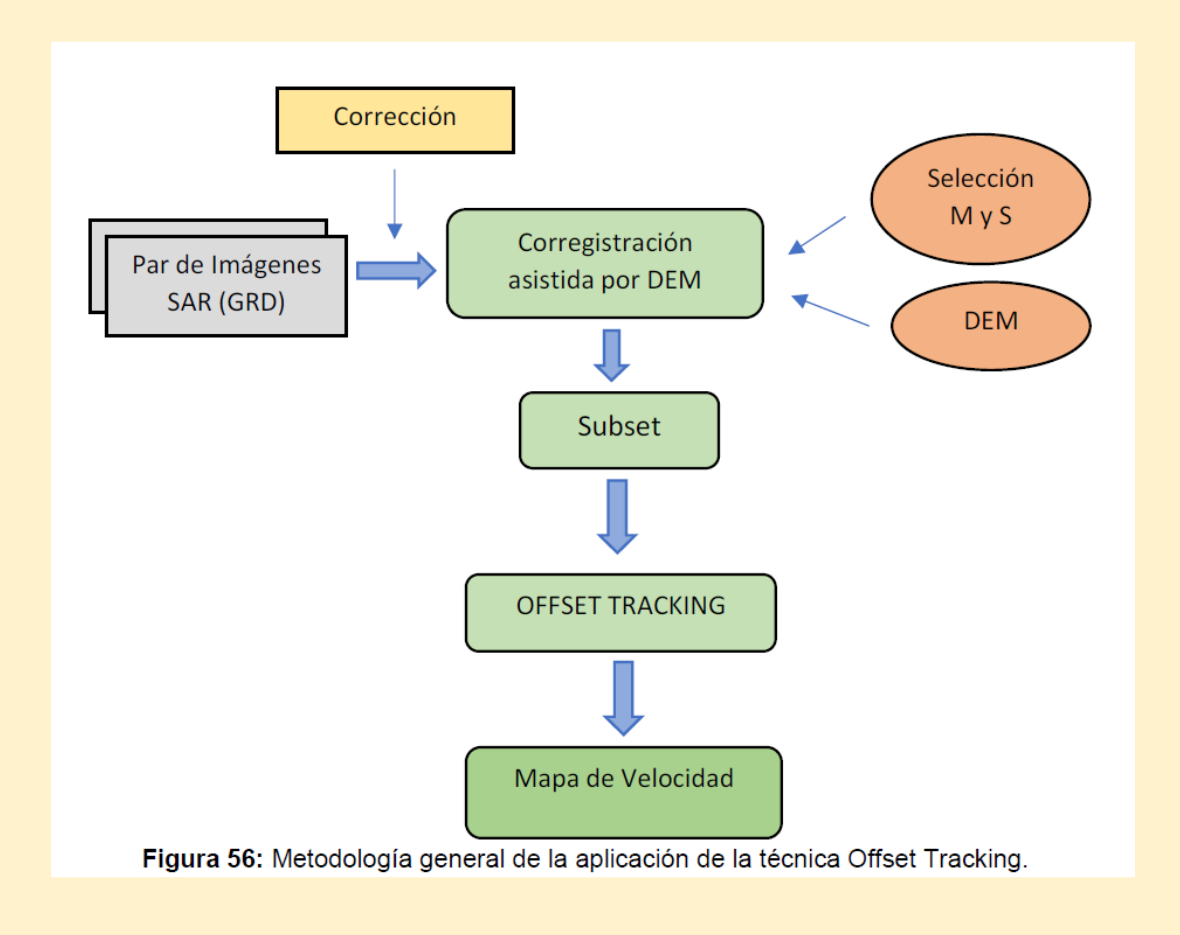
Fig. 5.1.2.5: niveles de la LMC (laguna Mar Chiquita) obtenidas con datos históricos e instrumentales. Las imágenes y mapas reflejan los cambios en el nivel de la laguna determinando distintos escenarios, la línea roja intermitente representa el valor de la cota 0 correspondiendo al nivel determinado para el año 1976.



Trabajo Final Juan Siles

Dinámica Glaciar: Interferometría radar





El enfoque de seguimiento de desplazamiento se ha utilizado ampliamente para medir grandes deformaciones del suelo como complemento del radar de apertura sintética interferométrica (InSAR) cuando su coherencia es pobre y/o el gradiente de deformación es grande.

Los procedimientos de seguimiento de compensación estándar estiman la deformación de los puntos de enlace, que se distribuyen uniformemente en dos imágenes SAR, lo que da como resultado muchas mediciones insatisfactorias.

Se aplico la técnica, considerando que se tenían las condiciones para el estudio

7.2.3 Materiales y Métodos

Los materiales son resumidos en el siguiente cuadro:

1)

IMAGENES	Tipo	Fechas de adquisición	Resolución espacial	Otros
Sentinel 1B (2)	SAR	29/06/2017 11/07/2017	14.1m	Imagen: "GRD" Polarización: VV Banda: C Orbita:
SRTM	DEM	-	30m	Ascendente
	(Radar)			
Digital Globe	Óptica	-	<1m	Color real

2)

PROGRAMAS	Tipo de imagen	Función
SNAP	Radar	-Visualizar
		-Procesar
Google Earth	Óptica y DEM	-Visualizar
		-Medir
		-Interpretar
SAS Planet	Óptica	-Visualizar
		-Descargar
ArcGIS	Óptica DEM Radar	- Visualizar
(ArcScene/ArcMap)		- Integrar
		- Interpretar



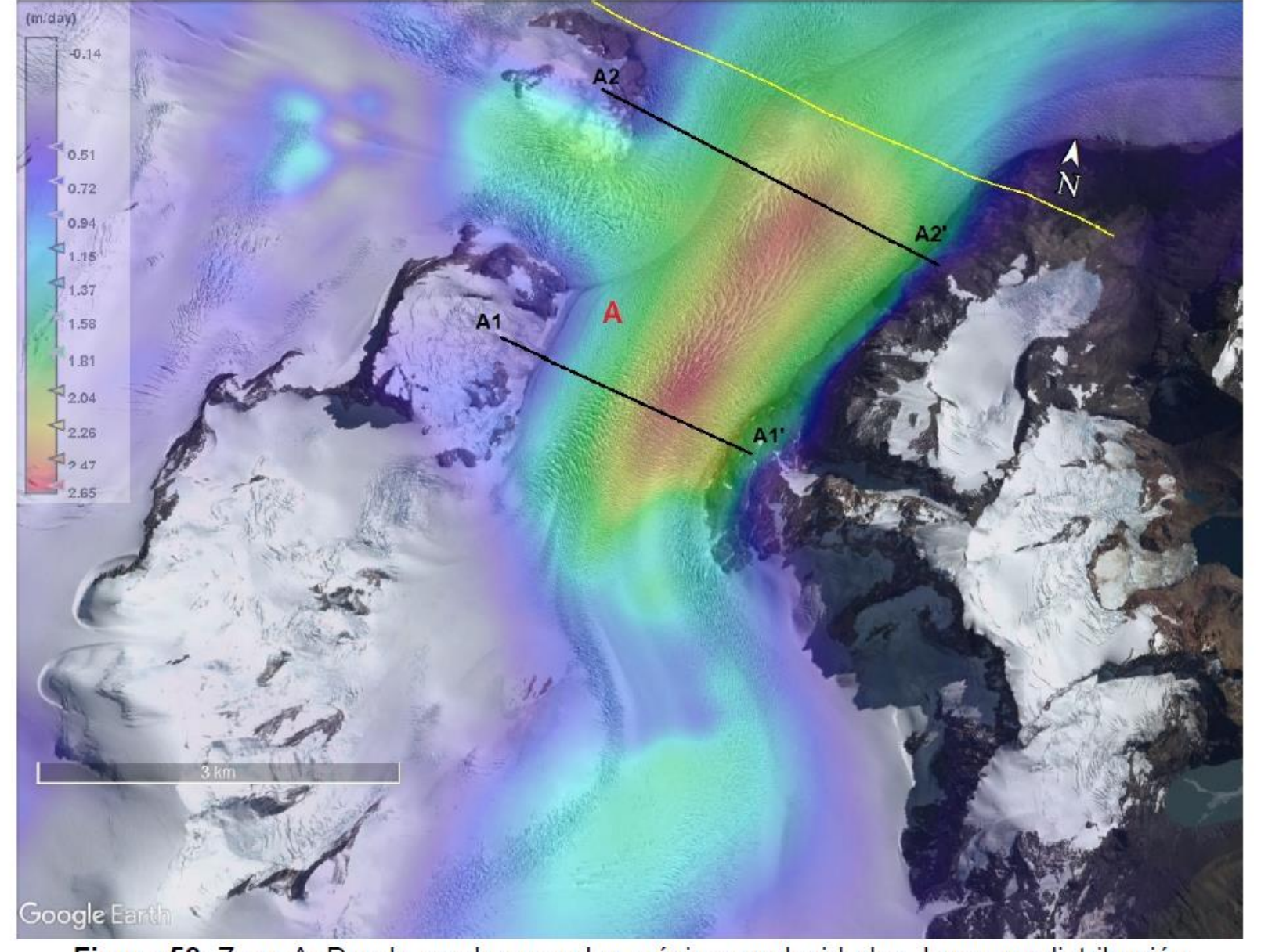


Figura 58: Zona A: Donde se observan las máximas velocidades, la mayor distribución espacial del hielo glaciar, y un sistema de fracturas longitudinales y transversales bien marcado.

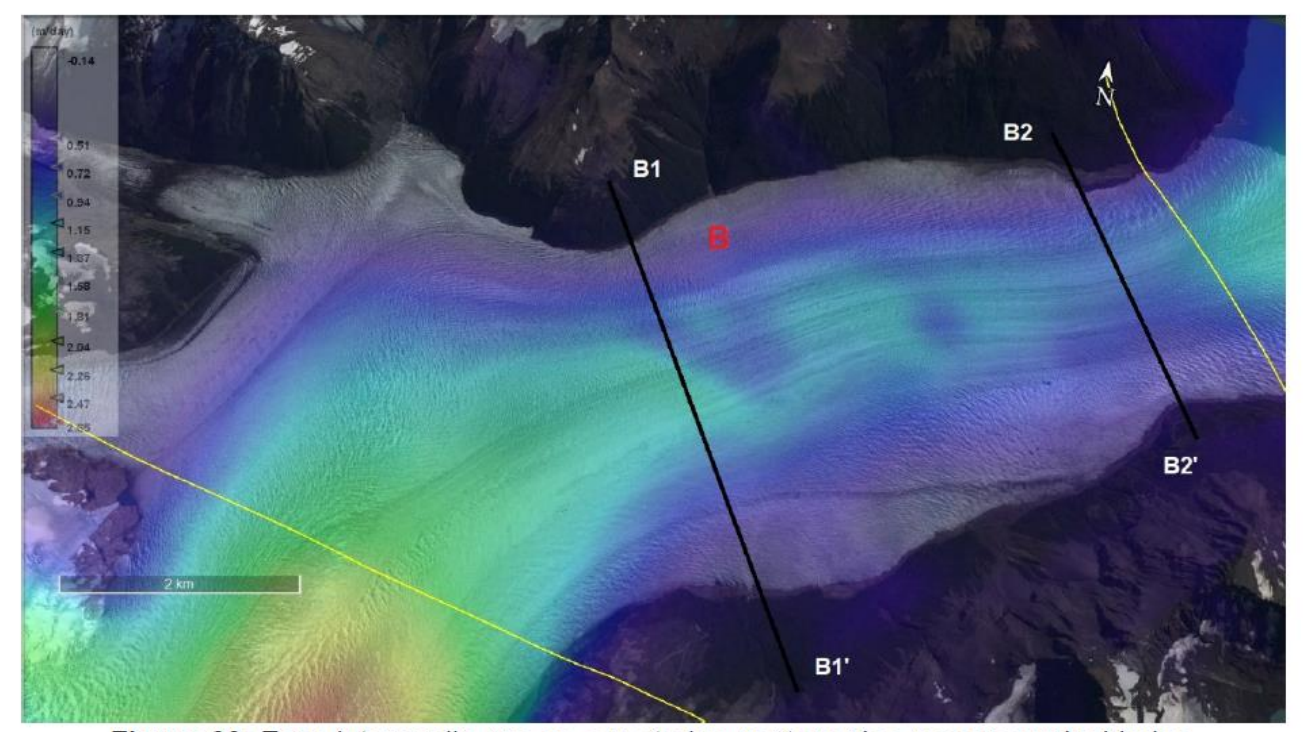


Figura 60: Zona intermedia que se caracteriza por tener las menores velocidades.

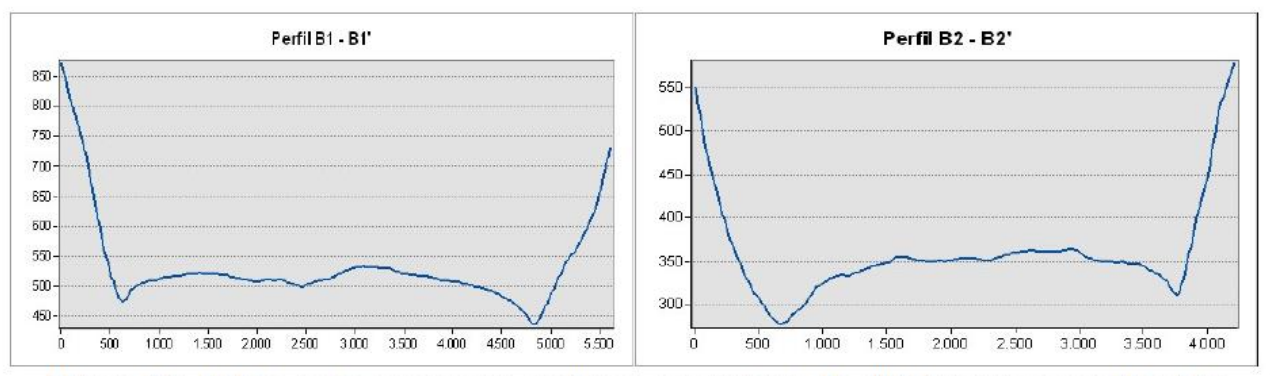
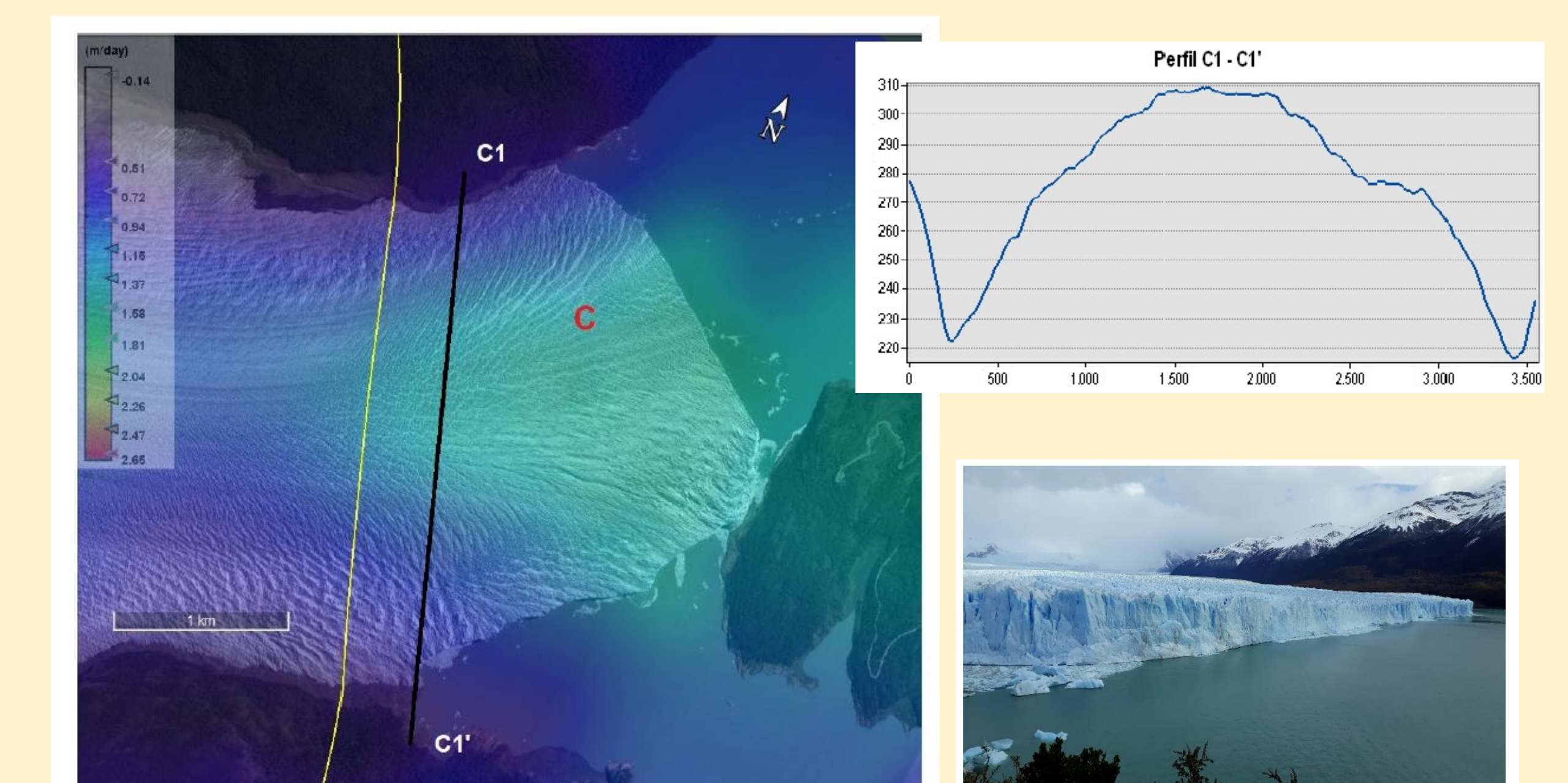


Figura 61: Ambos perfiles son muy similares, con valores de altitud máximos en el centro disminuyendo hacia los laterales.



Google Earth

Elaura FE: Fotografia dal Clasiar Darita Marana (Abril 2010)

Huracán Hugo 1989

https://upload.wikimedia.org/wikipedia/commons/e/ea/Hugo_sept_21_1989.jpg



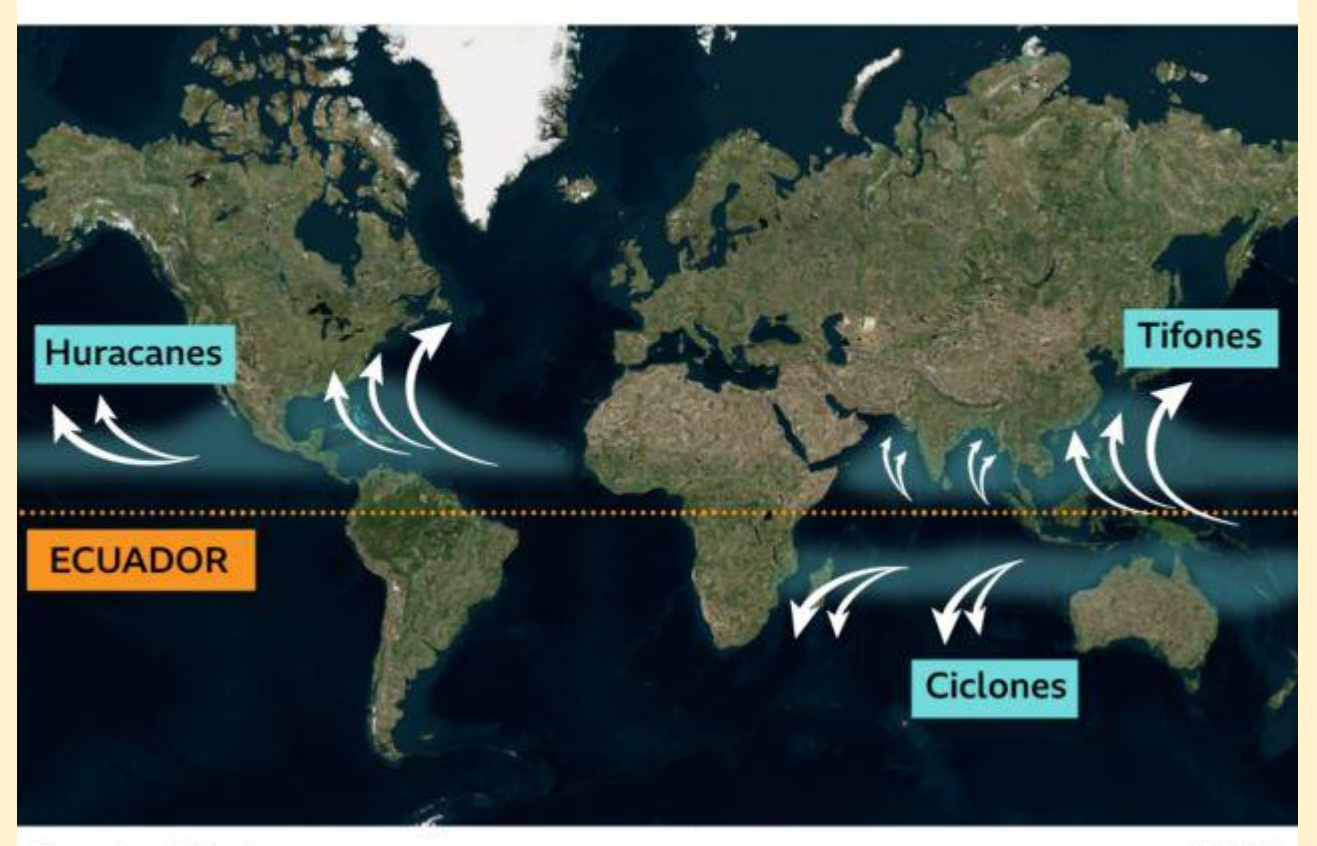
Los huracanes y el cambio climático

Los expertos indican que es prematura afirmar que el calentamiento del planeta, producido por la acción humana y por las emisiones de gases de efecto invernadero, tenga un impacto en la actividad de los huracanes.

Podría ser que los cambios producidos por el hombre fuesen de pequeña magnitud y, por ello, difíciles de detectar o que existan limitaciones para su observación o modelización.

A lo que sí que apuntan los modelos es a un probable incremento de la intensidad de los huracanes. A finales de este siglo, el calentamiento global hará probablemente que los ciclones tropicales sean de media entre un 2 y un 11 por ciento más intensos, con lo que aumentará su potencial destructivo.

Áreas donde se forman los ciclones tropicales



Fuente: NOAA BBC

Ciclones tropicales: Huracanes, Ciclones y Tifones

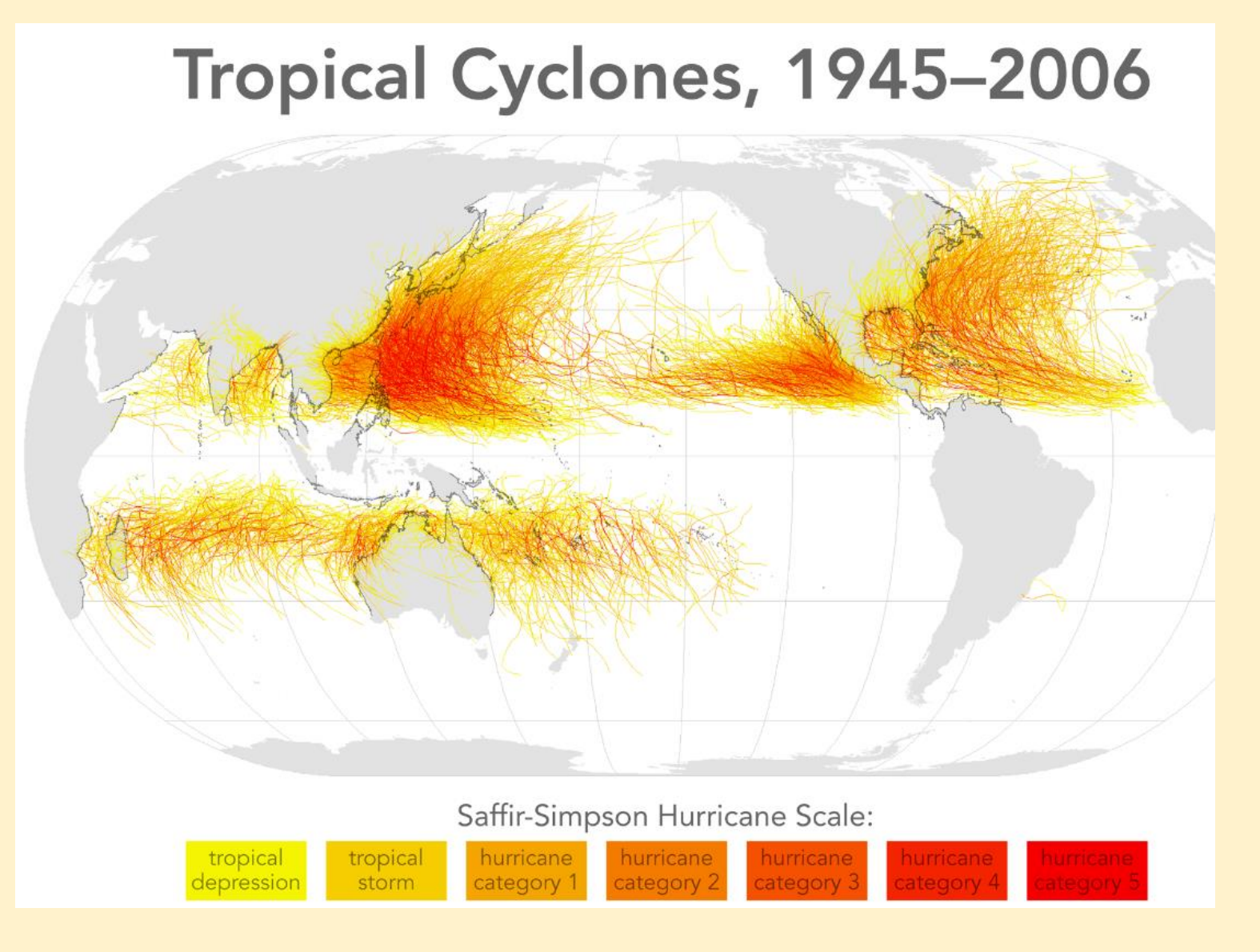
Un ciclón tropical es una tormenta de rápida rotación que se origina en los océanos tropicales, de donde extrae la energía necesaria para desarrollarse.

Tiene un centro de baja presión y nubes que se desplazan en espiral hacia la pared que rodea el "ojo", la parte central del sistema donde no hay nubes y las condiciones meteorológicas son por lo general tranquilas.

Su diámetro suele ser de unos 200 a 500 km, pero puede alcanzar los 1000 km.

Los ciclones tropicales generan vientos muy violentos, lluvias torrenciales, olas altas y, en algunos casos, mareas de tempestad e inundaciones costeras muy destructivas.

Los vientos soplan en sentido contrario a las agujas del reloj en el hemisferio norte y en el sentido de las agujas del reloj en el hemisferio sur.



Existen cinco tipos o categorías de ciclones tropicales -basadas en la velocidad del **viento**, según la escala Saffir-Simpson :

Huracanes de categoría 1: Vientos de 119-153 km / h (más rápidos que un guepardo) Huracanes de categoría 2: Vientos de 154-177 km / h (tan rápido o más rápido que la bola rápida de un lanzador en béisbol)

Huracanes de categoría 3: Vientos de 178-208 km / h (similar a la velocidad de servicio de muchos tenistas profesionales)
Huracanes de categoría 4: Vientos de 209-251 km / h (más rápido que la montaña rusa más rápido del mundo)

rápida del mundo)

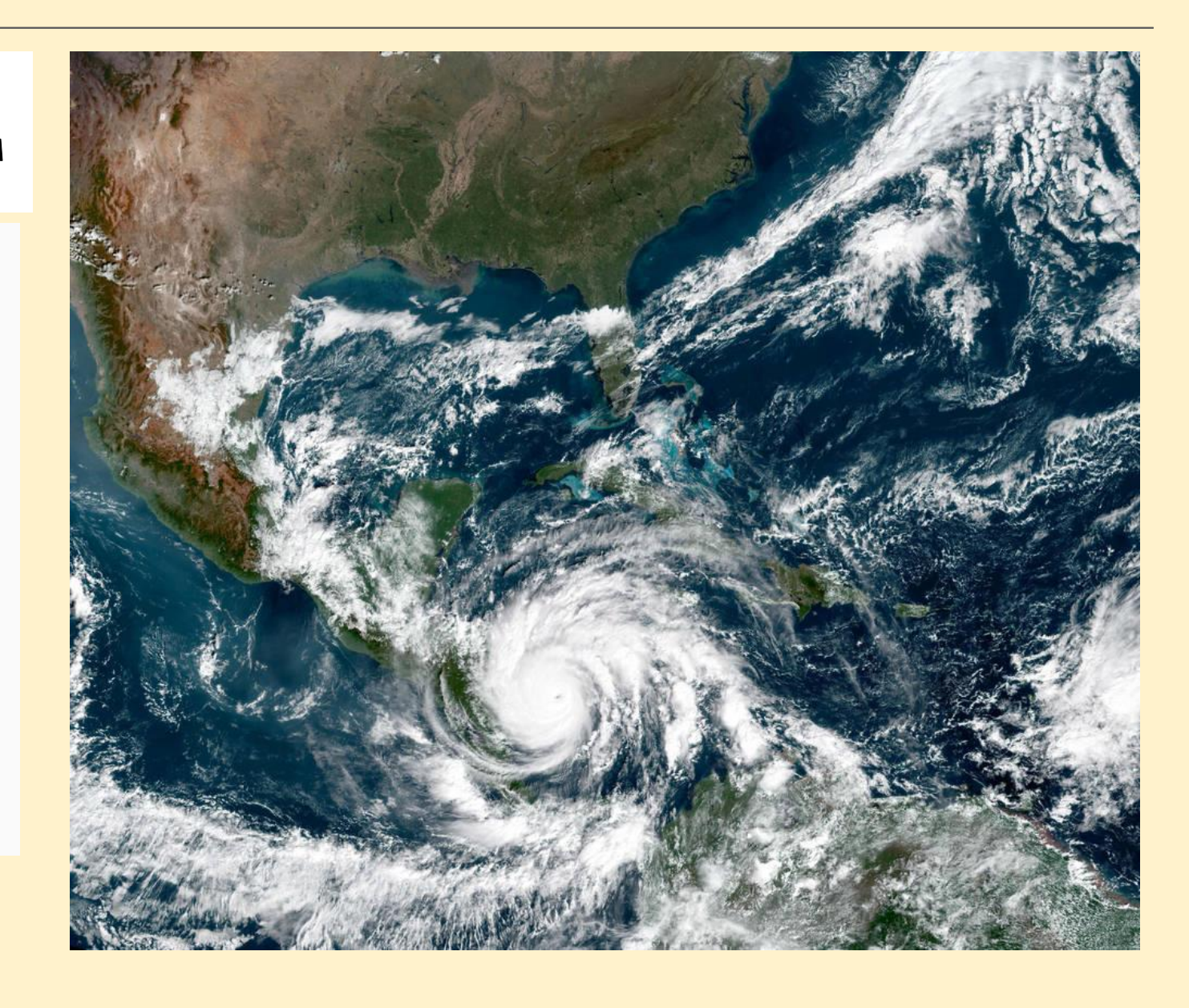
Huracanes de categoría 5: Vientos de más de 252 km / h (similar a la velocidad de algunos trenes de alta velocidad).

Imagen en color natural del huracán lota en el Golfo de México desde el satélite geoestacionario GOES-16 de la NOAA. *Credits: NOAA/Observatorio de la Tierra de la NASA*

El IPCC AR6 presenta un sólido cuerpo de evidencia científica de que es inequívoco que los humanos han causado el calentamiento del clima de la tierra, con una probable contribución humana de 0,8 a 1,3 grados centígrados a la temperatura media global desde finales del siglo XIX.

Pero, ¿qué significa este calentamiento global antropogénico para la actividad de huracanes en el Atlántico o la actividad global de ciclones tropicales?

https://www.gfdl.noaa.gov/global-warming-and-hurricanes/

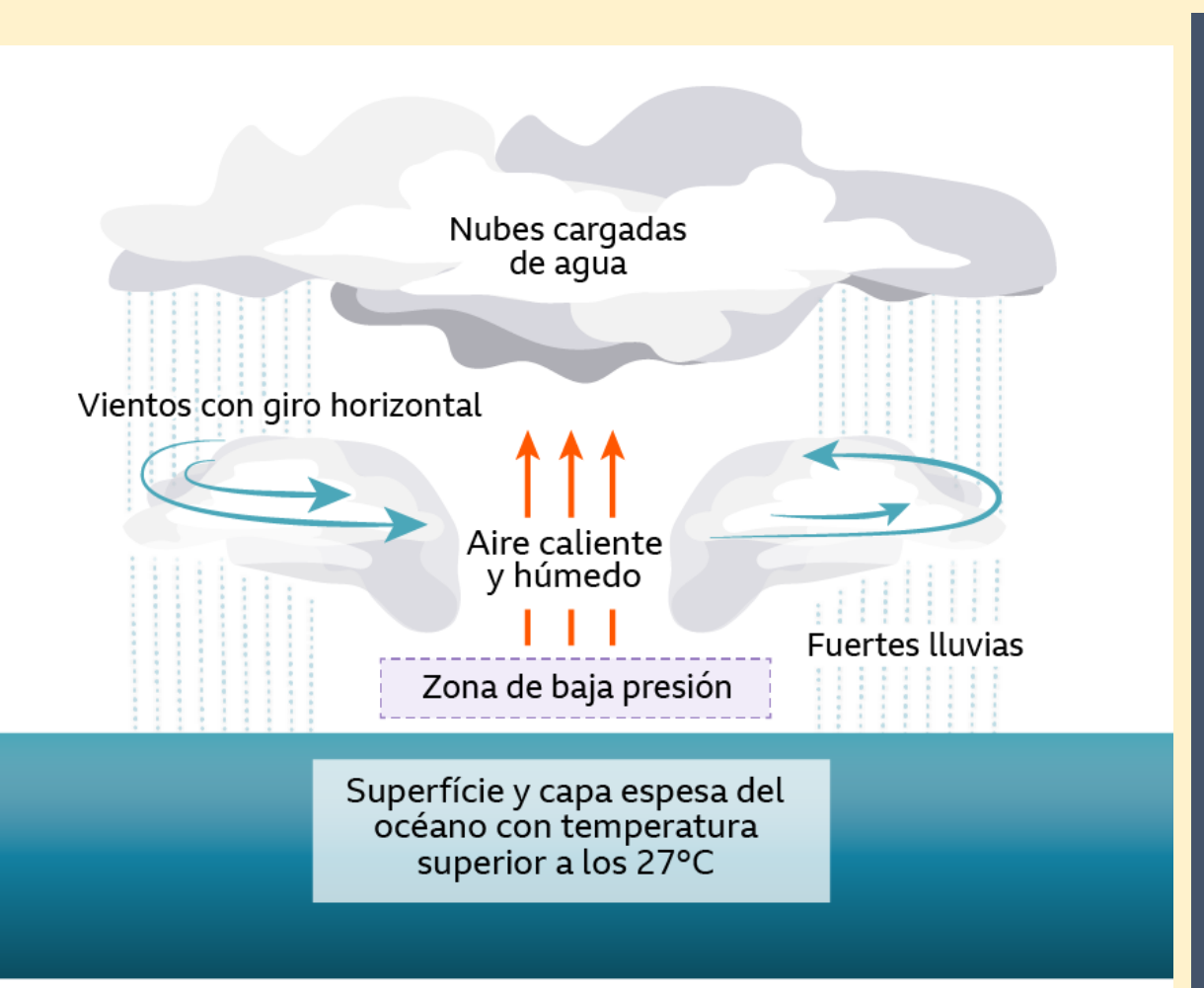


Cómo impactaría el calentamiento global en los CT?

- El **aumento del nivel del mar**, niveles de inundación costera más altos para los ciclones tropicales que ocurren
- Se prevé que las tasas de lluvia de los ciclones tropicales aumenten en el futuro (nivel de confianza medio a alto) debido al calentamiento antropogénico y al consiguiente aumento del contenido de humedad atmosférica.
- Se prevé que la intensidad de los ciclones tropicales a nivel mundial aumente (nivel de confianza medio a alto) en promedio (de 1 a 10 % según las proyecciones del modelo para un calentamiento global de 2 grados centígrados). Este cambio implicaría un aumento porcentual aún mayor en el potencial destructivo por tormenta, suponiendo que no se reduzca el tamaño de la tormenta. Las respuestas del tamaño de las tormentas al calentamiento antropogénico son inciertas.
- Se proyecta que la proporción global de ciclones tropicales que alcanzan niveles muy intensos (Categoría 4 y 5) aumente (nivel de confianza medio a alto) debido al calentamiento antropogénico durante el siglo XXI. Hay menos confianza en las proyecciones futuras del número global de tormentas de categoría 4 y 5, ya que la mayoría de los estudios de modelado proyectan una disminución (o un pequeño cambio) en la frecuencia global de todos los ciclones tropicales combinados.

¿Cuál es la receta para que se produzca un CT?

BBC



Los ciclones tropicales son tormentas con vientos que se arremolinan rápidamente alrededor de un centro de aire caliente. Dependen de cuatro ingredientes principales para formarse.

- 1. **Precisan el calor** o la energía almacenada en la capa superior del océano. Este contenido de calor oceánico alimenta una tormenta de forma similar a como el combustible impulsa un motor.
- 2. Necesitan un alto grado de humedad en el aire, que se consigue mediante la evaporación de las aguas oceánicas por encima de los 27°C. A medida que este aire húmedo se eleva e interactúa con aire más frío arriba, crea y hace crecer nubes y tormentas cada vez más grandes.
- 3. **Requieren vientos favorables.** A diferentes alturas de la atmósfera, estos vientos deben ser lo suficientemente débiles como para evitar que la tormenta se desintegre.
- 4. Rotación para organizar tormentas eléctricas dispersas en una sola tormenta más grande que gire cada vez más rápido en la forma espiral característica de los ciclones. Una parte de esta rotación proviene del propio movimiento de la Tierra al girar alrededor de su eje.

¿Habrá más huracanes cada temporada debido al cambio climático?

- **NO**. Aunque un océano caliente es un ingrediente clave para la formación de huracanes, las investigaciones muestran que este calentamiento no ha influido significativamente en el número de huracanes del Atlántico que se forman cada año.
- Las proyecciones sugieren que a medida que el océano se caliente la atmósfera también retendrá más humedad para formar nubes y alimentar tormentas, los científicos prevén huracanes más fuertes y húmedos en los próximos años.
- Es decir, aunque el calentamiento oceánico aún no está aumentando la frecuencia de los huracanes, este exceso de calor parece estar afectando diferentes características de los huracanes que *si* se forman.

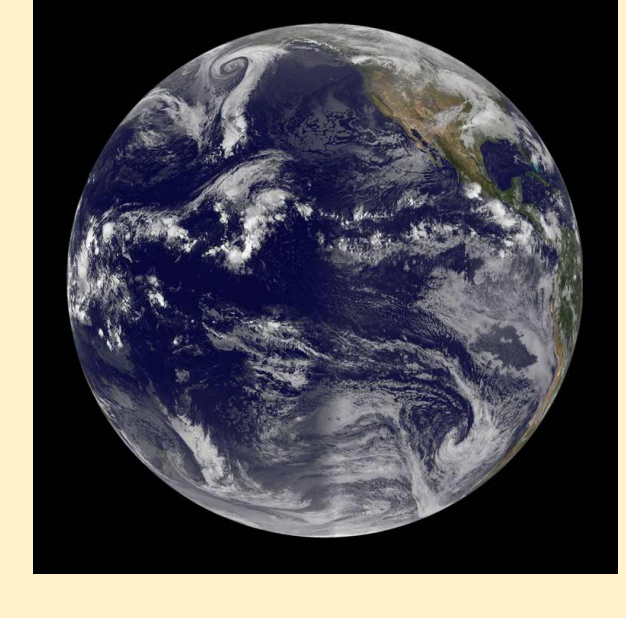
¿Está el cambio climático ralentizando los huracanes

- **Sí.** En las últimas décadas, los huracanes se han estancado más a medida que se acercan a las costas, dejando caer más precipitaciones sobre lugares confinados.
- "Cuanto más tiempo pase un sistema sobre el océano calentándose por esta agua extremadamente caliente, también van a aumentar sus precipitaciones", dijo Oyola-Merced. "Cuando tienes tierra que ya está saturada, donde llueve constantemente, y luego vienes con otra tormenta que está llena de precipitaciones, es una receta para el desastre".



Con datos procedentes de más de 20 satélites, la NASA desempeña un papel fundamental en las investigaciones de los huracanes. Antes, durante y después de un huracán, los satélites de la NASA están en una posición privilegiada para identificar los impactos y ayudar a las comunidades a prepararse, responder y recuperarse.

El aporte de los satélites geoestacionarios (GOES) al estudio de la relación entre el calentamiento global antropogénico y los ciclones tropicales



Vista de disco completo desde el GOES oeste. Nota: la imagen se coloca sobre un fondo de color verdadero. NASA.



Vista de disco completo desde GOES Este. Nota: la imagen se coloca sobre un fondo de color verdadero. NASA

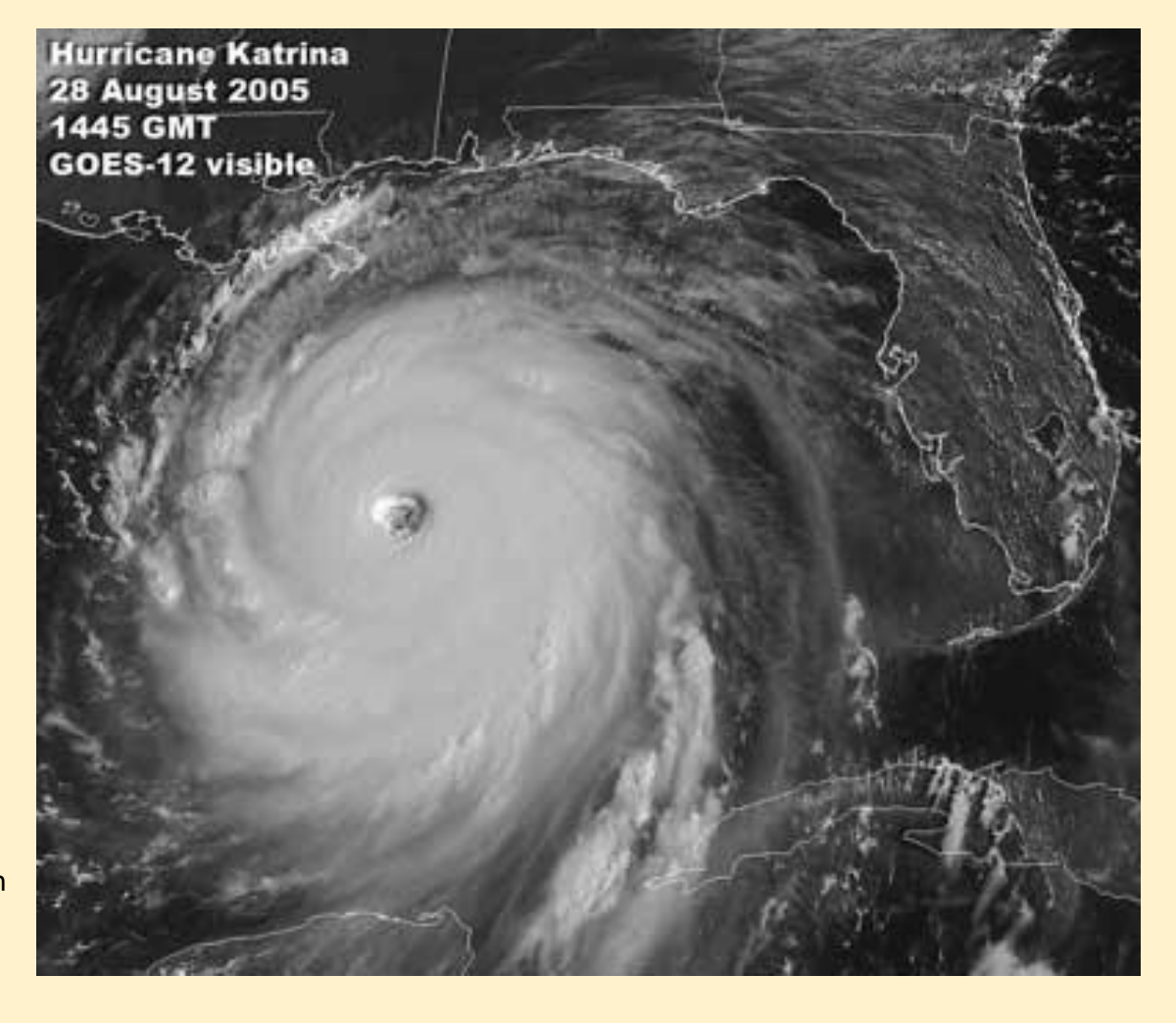
- Amplia cobertura temporal GOES 1 (1975) hasta el presente GOES 16
- Resolución espacial (1-8 km) adecuada para visualizar ciclones tropicales que alcanzan un diámetro entre 300 y 800 km de diámetro
- Resoluciones espectrales que cubren las necesidades para el estudios de los ciclones tropicales (forma, ojo, actividad eléctrica etc.?
- Revisita que permite modelizar el comportamiento del ciclón tropical (animación)
- Modelización de la temperatura superficial del mar (GOES R)

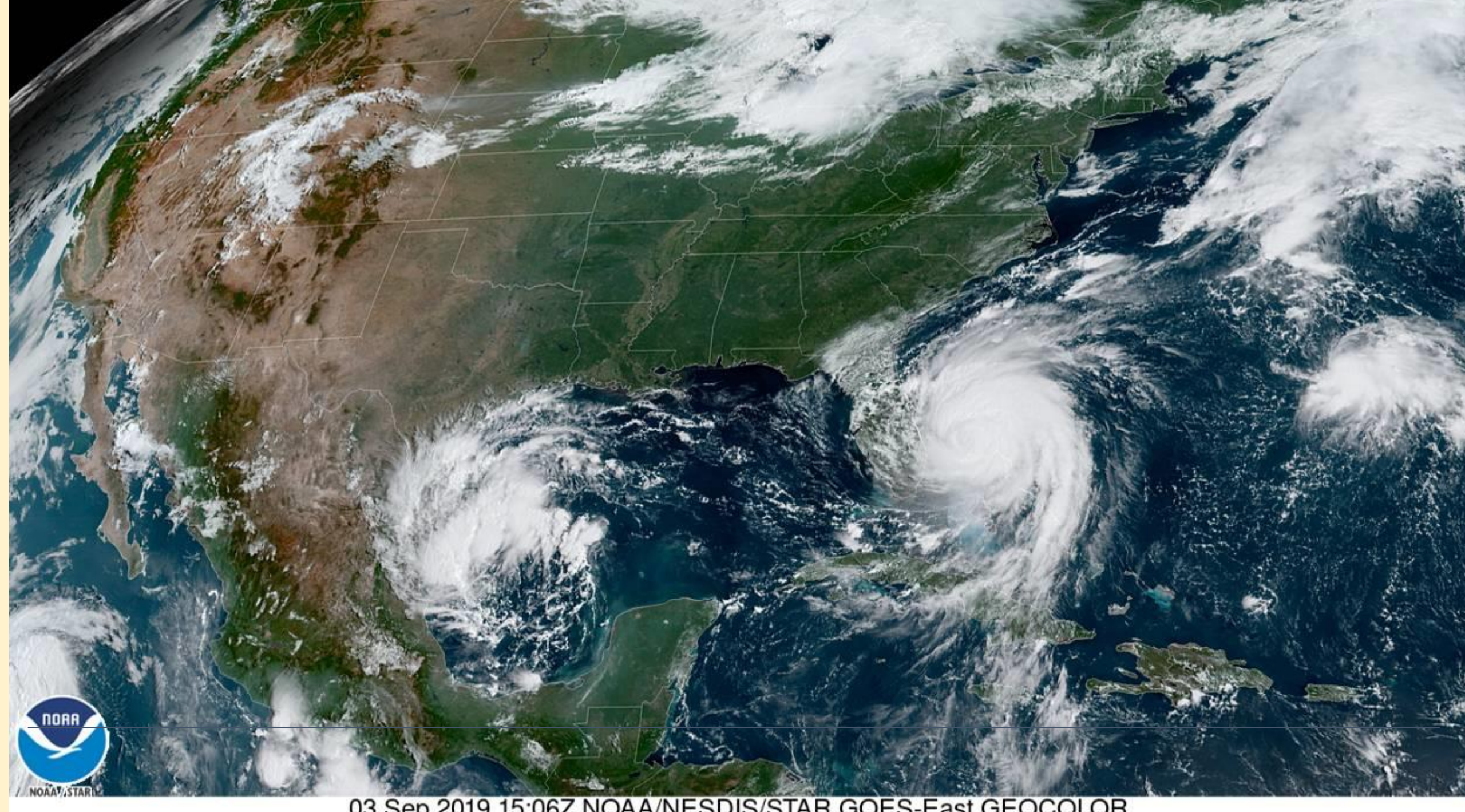
•Las imágenes del GOES son muy útiles para modelar y pronosticar tormentas tropicales.

Kossin (2018), demostró que los huracanes se mueven más lentamente por la tierra debido a los cambios en el clima de la Tierra. Esto ha resultado en mayores riesgos de inundaciones a medida que las tormentas se ciernen sobre las ciudades y otras áreas, a menudo durante períodos prolongados.

http://www.hurricanescience.org/science/observation/satellites/geostationary/#:~:text=Since%20they%20are%20in%20a,flash%20floods%2C%20and%20hail%20storms.

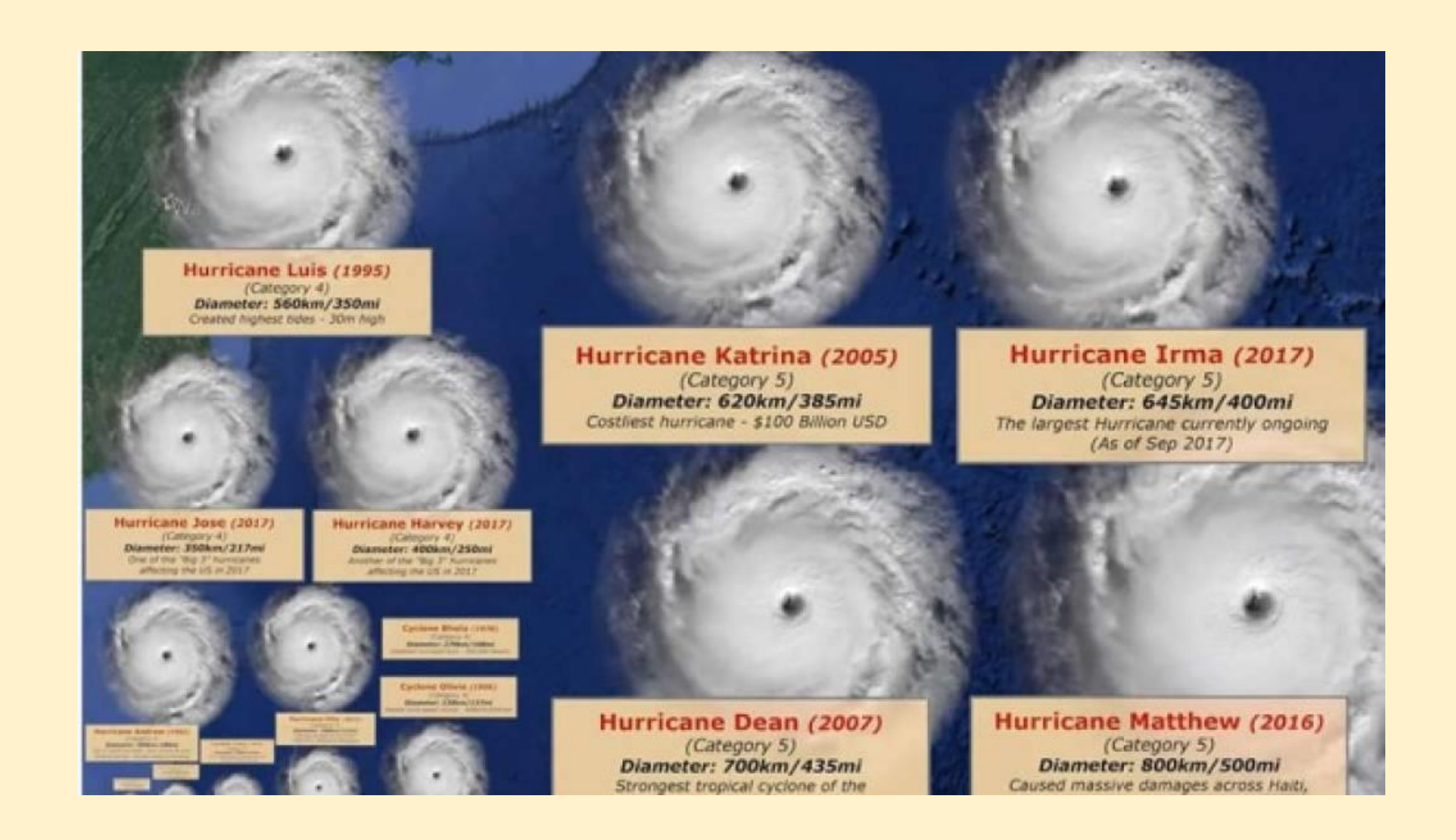
GOES puede proporcionar imágenes detalladas de ciclones tropicales. Imagen del huracán Katrina del GOES-East, 28 de agosto de 2005. Crédito de la imagen: NASA.





03 Sep 2019 15:06Z NOAA/NESDIS/STAR GOES-East GEOCOLOR

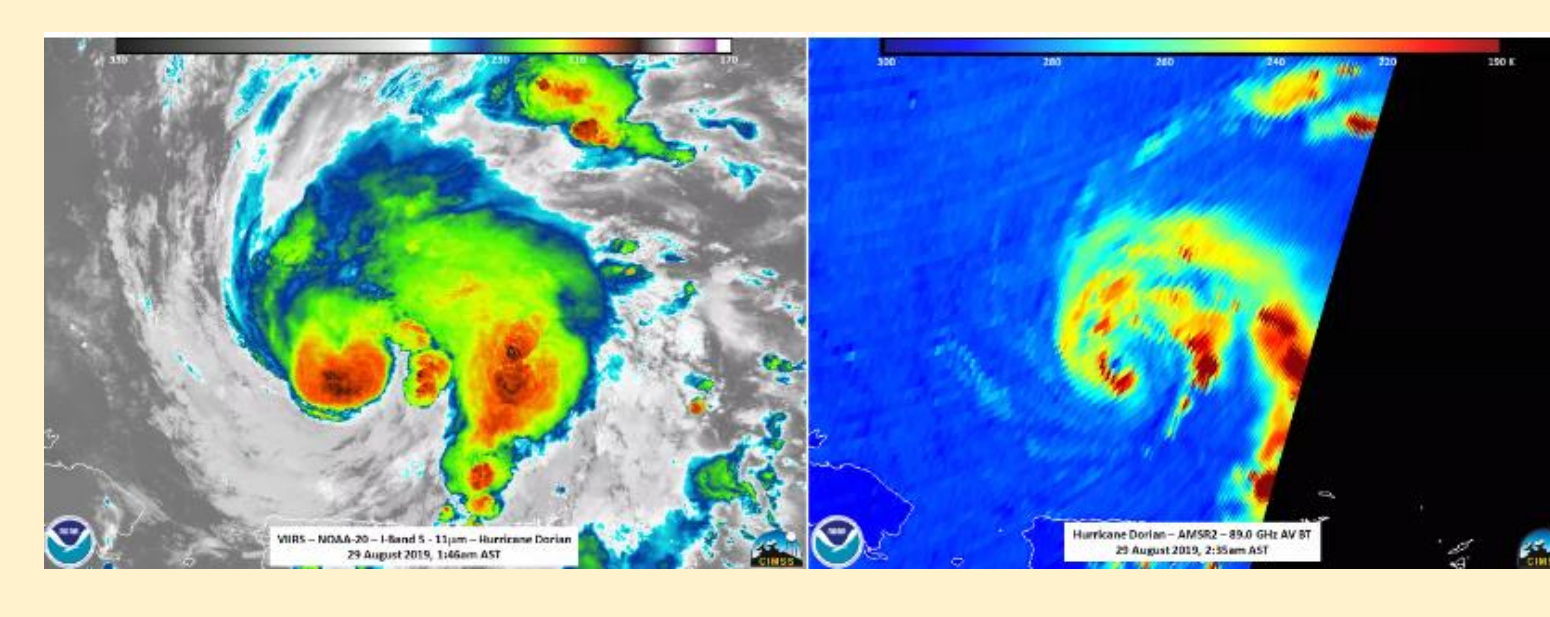
Tamaño de los CT



La forma del los CT

Los huracanes más poderosos, como Dorian el 2 de septiembre, tienen una forma redonda, casi circular. Esa es una señal de que la cizalladura del viento, un cambio en la velocidad o dirección del viento con la altura, es mínima.

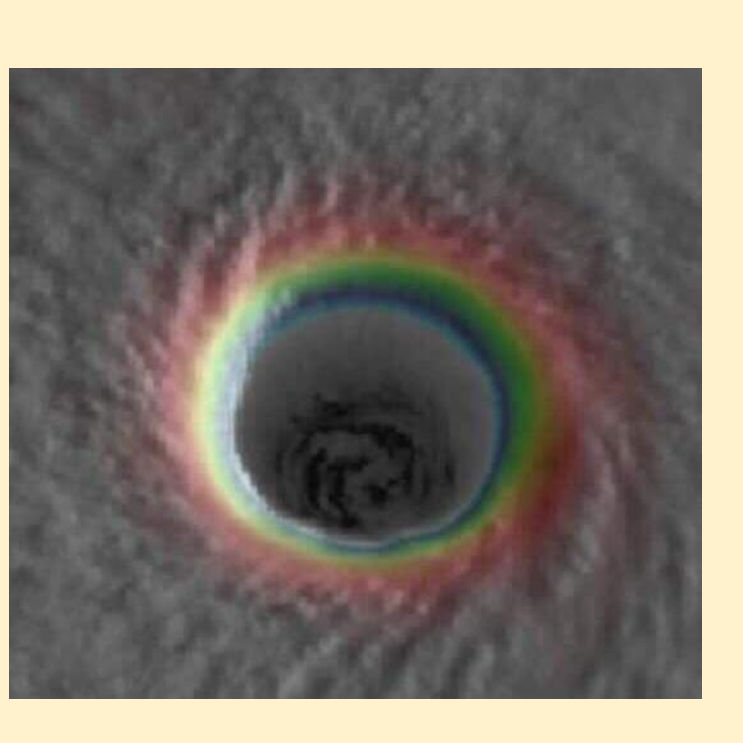
Una de las primeras cosas que los satélites pueden determinar rápidamente es la forma y extensión de un CT



Cuando la cizalladura del viento es baja, las tormentas tienden a ser más simétricas. Cuando la cizalladura del viento es alta, distorsiona la tormenta y empuja la actividad de la tormenta hacia un lado, lo que puede comenzar a debilitar al huracán.

El ojo CT

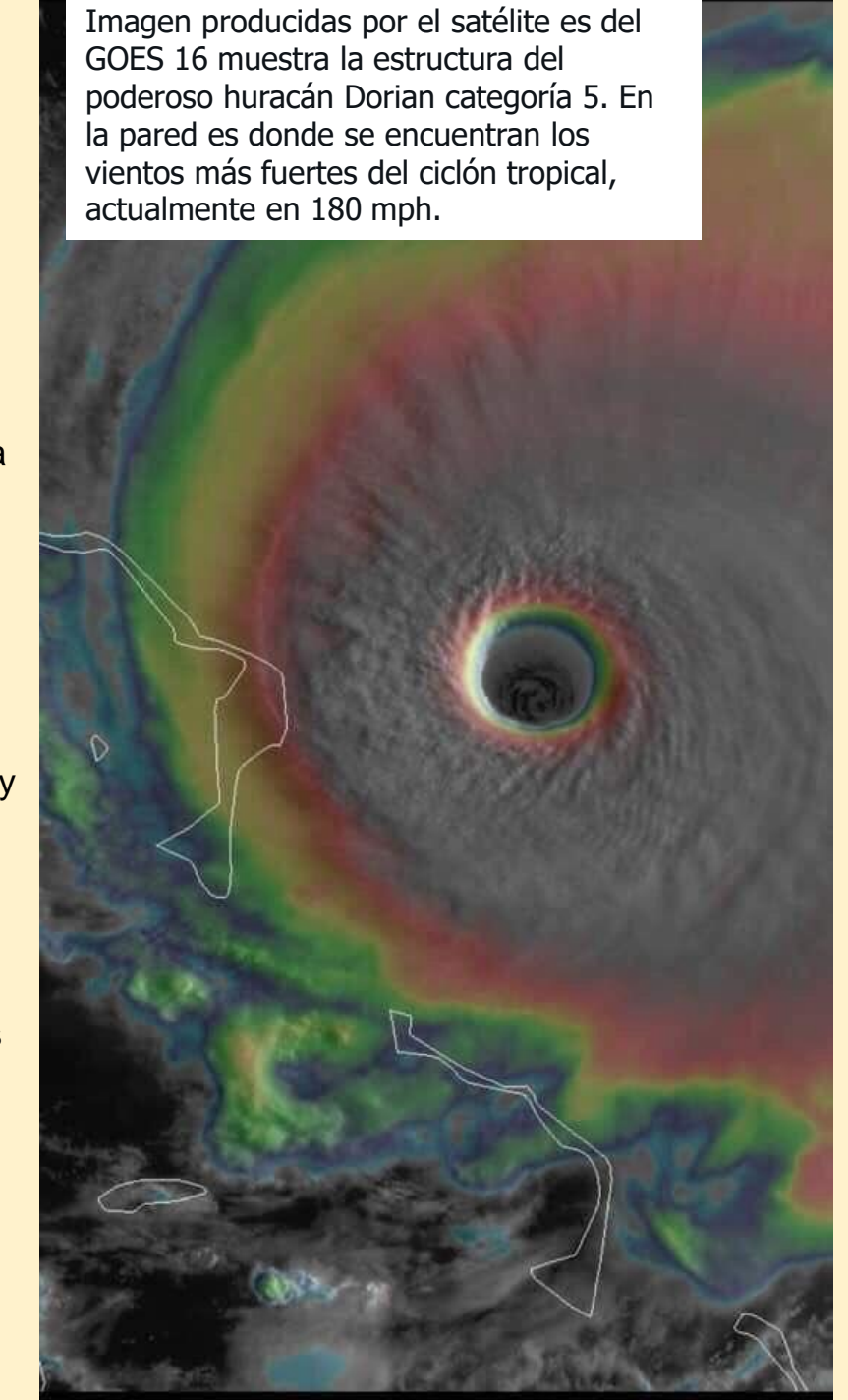
Un ojo bien definido es indicador del poder del CT



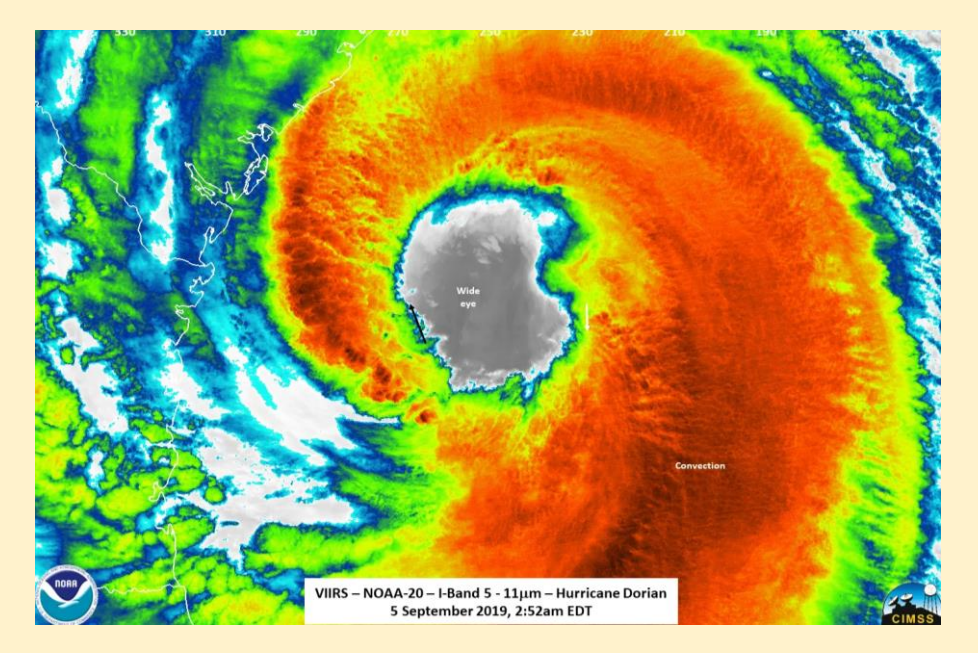
En sus primeras etapas, una tormenta está menos definida y consiste principalmente en una capa de nubes y ningún ojo evidente. Pero a medida que aumenta la velocidad del viento, comienza a tener un movimiento ascendente más fuerte en la creciente pared de nubes que se forma alrededor del ojo.

"Mientras el aire gira alrededor del centro de la tormenta, también se mueve hacia adentro, hacia arriba y hacia afuera: hacia la superficie, hacia arriba en la pared del ojo y hacia afuera en la tropopausa.

A medida que la tormenta se vuelve más fuerte, se forma otra circulación dentro de la pared del ojo con los vientos en la parte superior de la tormenta que soplan hacia adentro y se hunden dentro del ojo. Ese movimiento de hundimiento despeja las nubes dentro del ojo. Cuanto más se fortalezca la tormenta, más claro será ese ojo".



Evolución de CT





"Si se están poniendo más fríos, entonces las tormentas eléctricas se están volviendo más fuertes y profundas. Eso nos dice que el motor del huracán podría estar acelerando y fortaleciéndose.

https://youtu.be/e3g7NpCkZMM





https://www.nesdis.noaa.gov/news/guide-understanding-satellite-images-of-hurricanes

Imágenes en tiempo real

Misiones satelitales actuales

Próxima generación

Datos, investigación y servicios

Nuestro ambiente

Espacio comercial

Sobre

Hogar / Noticias y Eventos / Artículo de fondo

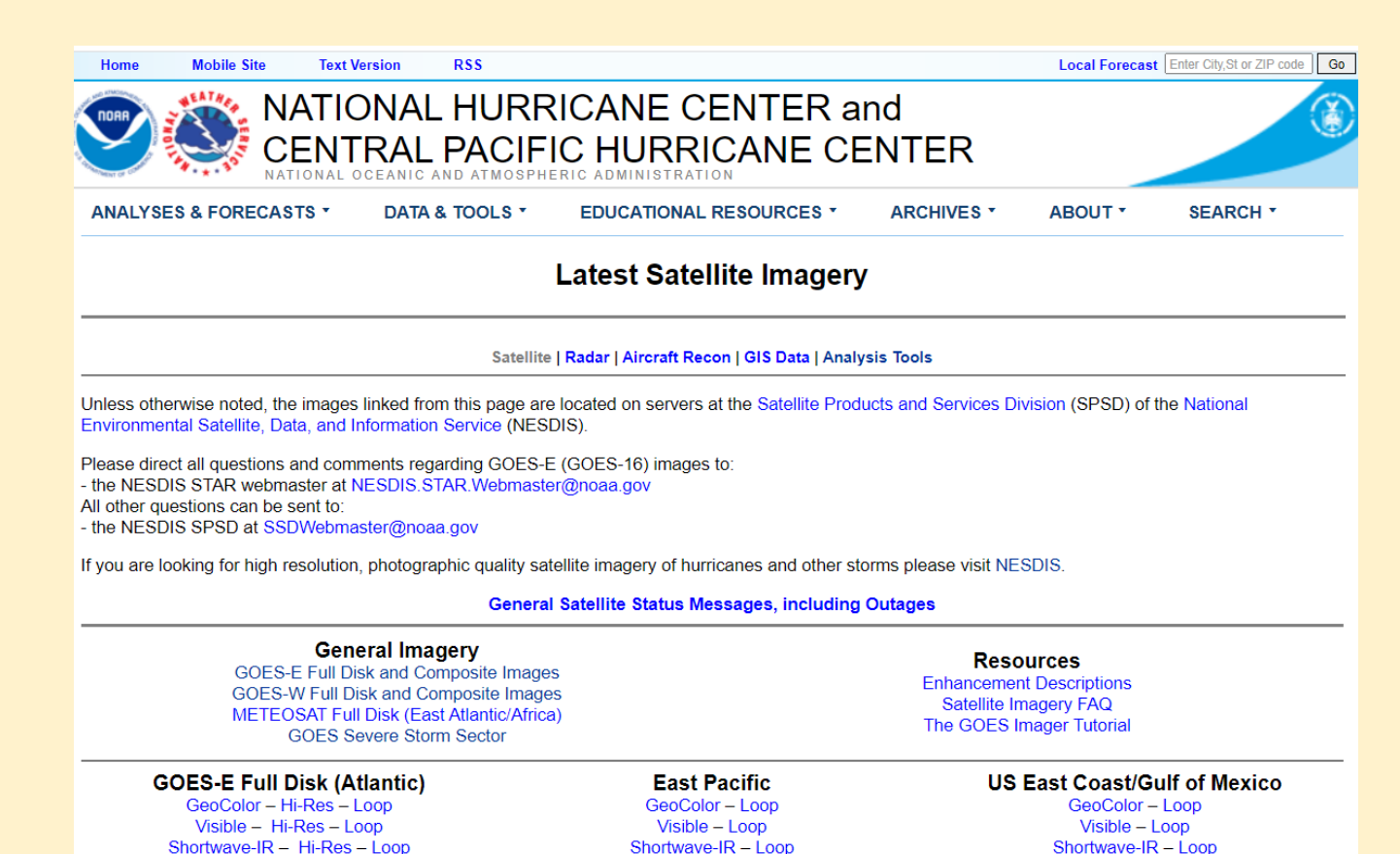
Una guía para comprender las imágenes satelitales de los huracanes

Los satélites GOES Este y Oeste de la NOAA muestran la evolución de la tormenta al medir la radiación infrarroja y visible de la atmósfera y la superficie en tiempo real. Estas medidas nos informan sobre el viento en varios niveles de la atmósfera, las temperaturas de la superficie del mar y las propiedades de las nubes.

"Estas imágenes son fundamentales para determinar dónde se encuentra la tormenta, saber en qué dirección se mueve y estimar su fuerza",

- La Administración Nacional Oceánica y Atmosférica (NOAA) opera dos conjuntos de satélites para monitorear el clima. Los satélites geoestacionarios (geostationary operating environment satellites -GOES) y los satélites de órbita terrestre baja.
- Los satélites GOES giran alrededor de la Tierra en una órbita geoestacionaria sobre el <u>ecuador</u>, lo que significa que se ciernen continuamente sobre un lugar en la superficie de la Tierra.

https://www.nhc.noaa.gov/satellite.php



IR - Loop

Water Vapor - Loop

IR - Hi-Res - Loop

Water Vapor - Hi-Res - Loop

La NASA diseña, construye y lanza al espacio el conjunto de satélites de la NOAA, cuyos datos informan específicamente a los modelos numéricos de predicción meteorológica.

IR - Loop

Water Vapor - Loop

Cambios en la geomorfología por grandes tormentas o huracanes: Ejemplo Huracán María (Puerto Rico-2016)



Huracan María 2016. Puerto Rico



Huracan María 2016. Puerto Rico



Huracán María 2016. Puerto Rico

